

С.Т. Кашафутдинов, В.Н. Лушин

Атлас
аэродинамических характеристик
крыловых профилей

1994

С. Т. Кашафутдинов, В. Н. Лушин

А Т Л А С
АЭРОДИНАМИЧЕСКИХ ХАРАКТЕРИСТИК
КРЫЛОВЫХ ПРОФИЛЕЙ

*Отсканировал
и выложил в свободный
доступ Виктор "bellkin"
(=SF=BELLA-RUS)*

ЗАМЕЧЕННЫЕ ОПЕЧАТКИ

Стр.	Строка	Налечатано	Должно быть
1	2	3	4
5	Табл. 1	ЦАГИ Р-11 ЦАГИ Р-111 Go-535 Go 549 ЦАГИ Р-111 ЦАГИ Д-2	ЦАГИ Р-II ЦАГИ Р-III Go-535 Go-549 ЦАГИ Р-III ЦАГИ Д-2
6	Между 5-й и 6-й верхними строками		Профили СибНИА С-12, С-14 и С-16 зашифрованы авторским свидетельством № 1420822 "Профиль крыла пилотажно-акробатического самолета"/Кашафутдинов С. Т., Кочеловский Ю. А., Лушин В. Н., Чернов Л. Г., Грунин Е. П.: приоритет от 10 июля 1986 г.
16	1 сверху	... ПРОФИЛЬ ЦАГИ Д-2*	... ПРОФИЛЬ ЦАГИ Д-2*
52	1 сверху	ПРОФИЛЬ DFS -P9-11	ПРОФИЛЬ DFS -P9-14
53	1 сверху	ПРОФИЛЬ DFS -P9-11	ПРОФИЛЬ DFS -P9-14
56	В графике таблицы		
	<i>C_{m0}</i>	«неразборчиво»	-0, 005
62	В графике таблицы		
	<i>C_{x0}</i>	«неразборчиво»	0, 0082
63	В графике таблицы		
	<i>C_{cc0}</i>	«неразборчиво»	0, 0087

1	2	3	4
64	В графе таблицы C_{∞_0}	«неразборчиво»	0,0094
65	В графах таблицы: $C_{\infty_{min}}$ $C_{\infty_{opt}}$ C_{∞_n} $\frac{d}{dx} C_{\infty_n}$ В условных обозначениях	«неразборчиво» «неразборчиво» «неразборчиво» «неразборчиво» «неразборчиво» ● 1 ... ○ 2 ... ● 3 ... ○ 4 ...	0,0088 0,05 0,0088 -0,8 5,8 ● 4 ... ○ 3 ... ● 2 ... ○ 1 ...
66	В графе таблицы C_{∞_0}	«неразборчиво»	0,0083
67	В графе таблицы C_{∞_c}	«неразборчиво»	0,0083
68	В графе таблицы C_{∞_c}	«неразборчиво»	0,0083

Заказ 413

ПРИНЯТЫЕ ОБОЗНАЧЕНИЯ

C_x	- коэффициент лобового сопротивления модели;
C_y	- коэффициент подъемной силы модели;
C_m	- коэффициент момента тангажа относительно носка модели;
$C_{m_{1/4}}$	- коэффициент момента тангажа относительно точки, расположенной на расстоянии $1/4 b$ от носка профиля;
C_{x_i}	- коэффициент индуктивного сопротивления модели;
C_{x_0}	- коэффициент лобового сопротивления модели, соответствующий $C_y = 0$;
C_{x_p}	- коэффициент профильного сопротивления;
$C_{x_{p\min}}$	- минимальное значение коэффициента профильного сопротивления;
$C_{y_{opt}}$	- значение коэффициента подъемной силы, соответствующее $C_{x_{p\min}}$;
$K = \frac{C_y}{C_{x_p}}$	- аэродинамическое качество профиля;
$K_{\max} = \left[\frac{C_y}{C_{x_p}} \right]_{\max}$	- максимальная величина аэродинамического качества профиля;
$C_{y_{nair}}$	- значение коэффициента подъемной силы профиля, соответствующее K_{\max} ;
$C_{y_{\min\,sec}}$	- минимальное значение коэффициента подъемной силы профиля;
$C_{y_{\max\,sec}}$	- максимальное значение коэффициента подъемной силы профиля;
$\frac{C_y^{3/2}}{C_{x_p}}$	- коэффициент мощности;
C_{m_0}	- коэффициент момента тангажа профиля, соответствующий $C_y = 0$;
$dC_y/d\alpha$	- производная коэффициента подъемной силы по углу атаки профиля;
dC_m/dC_y	- производная коэффициента момента тангажа по коэффициенту подъемной силы профиля;
$Re = \frac{Vb}{\nu}$	- число Рейнольдса;
V	- скорость потока в рабочей части грубы (м/с);
b	- хорда крыла (м);
ν	- кинематическая вязкость воздуха (m^2/c);
λ	- удлинение крыла;
$\bar{C} = \frac{C_{\max}}{b}$	- относительная голшина профиля (отношение максимальной толщины профиля к его хорде);
$\bar{\ell} = \frac{l}{b}$	- относительная кривизна профиля (отношение максимальной ординаты средней линии профиля к его хорде);

В Атласе приведены результаты испытаний в аэродинамической трубе крыловых профилей: ЦАГИ Р-П (12, 14, 18%), ЦАГИ Р-Ш (12; 15, 5; 18%), ЦАГИ 846 (14%), ЦАГИ Д-2 (14%), ЦАГИ Р-ША (15%), NACA 4412, NACA 4415, NACA 43012A, C₀-535, C₀-549, DFS-P9-14, MS16/209, K-3, СибНИА С (12; 14; 16%), СибНИА С-18/14 (16%), Me-163.

Кроме того, в Атласе приведены характеристики профилей, взятые из различных литературных источников: NACA 23011, NACA 23014, NACA 23017, FX 61-184, FX 63-137, FX 60-126, FX 67-K-170/17, GA (W)-1.

Настоящий Атлас призван стать пособием для конструкторов самодельных летательных аппаратов, а также может быть полезен работникам ОКБ при создании планеров и пилотажно-акробатических самолётов.

Книга напечатана при финансовой помощи малого предприятия "Кличен".



Сибирский научно-исследовательский институт авиации им. С. А. Чаплыгина,
1994

$$\bar{x}_c = \frac{x_c}{b}$$

- относительное положение максимальной толщины профиля (расстояние от передней точки профиля вдоль его хорды до положения максимальной толщины, отнесенное к хорде);

$$\bar{x}_{\frac{t}{2}} = \frac{x_{\frac{t}{2}}}{b}$$

- относительное положение максимальной кривизны профиля (расстояние от передней точки профиля вдоль его хорды до положения максимальной ординаты средней линии профиля, отнесенное к хорде).

ОПИСАНИЕ МОДЕЛЕЙ

Аэродинамические характеристики профилей были получены из испытаний моделей прямоугольных крыльев с удлинением $\lambda = 5$. Основные параметры моделей приведены ниже в таблице 1.

Таблица 1

Профиль	Параметры профиля				Размах модели без законцовок b , м	Хорда модели b , м
	\bar{c}	\bar{x}_c	\bar{t}	$\bar{x}_{\frac{t}{2}}$		
ЦАГИ Р-11	0,12	0,25	0,034	0,25	1,5	0,3
	0,14	0,25	0,042	0,25	1,5	0,3
	0,18	0,25	0,040	0,25	1,5	0,3
ЦАГИ Р-111	0,12	0,25	0,0345	0,225	1,5	0,3
	0,155	0,25	0,0445	0,225	2,5	0,5
	0,18	0,25	0,0517	0,225	1,5	0,3
NACA 43012A	0,122	0,20	0,035	0,15	1,5	0,3
NACA 44	0,12	0,30	0,040	0,40	1,5	0,3
	0,15	0,30	0,040	0,40	1,5	0,3
Go-535	0,16	0,30	-	-	1,5	0,3
Go-549	0,138	0,30	-	-	1,5	0,3
ДРЗ-Р9-14	0,138	0,20	-	-	2,5	0,5
ЦАГИ 846	0,14	0,30	0,040	0,30	1,5	0,3
ЦАГИ Р-111	0,15	0,25	-	-	1,5	0,3
ЦАГИ Д-2	0,14	0,27	0,0407 -0,0013	0,25 0,93	1,5	0,3
СибНИА С	0,12	0,15	0,0	0,0	2,5	0,5
	0,14	0,15	0,0	0,0	2,5	0,5
	0,16	0,15	0,0	0,0	2,5	0,5
СибНИА С-14	0,16	0,15	0,01	0,15	2,5	0,5
MS 16/209	0,132	-	-	-	1,5	0,3
Ме-163	0,127	-	-	-	1,5	0,3
K-3	0,164	-	-	-	1,5	0,3

Модели были изготовлены из бука и тщательно отполированы. Зазоры между шаблонами и поверхностью моделей не превышали 0,035% хорде.

Законцовки моделей были выполнены по методу ЦАГИ: радиус скругления равнялся половине местной толщины профиля.

Изменение площади и удлинения крыльев за счёт законцовок было учтено с помощью формул /5/:

$$S' = S (1 + 0,65 \bar{c} / \lambda), \quad \lambda' = \frac{\lambda + 2 \bar{c}}{1 + 0,65 \bar{c}}$$

где S и λ – соответственно площадь и удлинение прямоугольной части модели, C – относительная толщина профиля.

Профиль К-3 спроектирован И. К. Костенко; им же составлены таблицы координат профилей $\text{DFS}-\text{P}9-14$ и $\text{Me}-163$. Координаты остальных профилей взяты из работ /1/, /2/, /4/, /5/, /8/, /9/.

МЕТОДИКА И ПРОГРАММА ИСПЫТАНИЙ

Испытания моделей крыльев проводились в аэродинамической трубе, имеющей открытую рабочую часть эллиптического сечения с осями 4 и 2,33 м.

Программой испытаний предусматривалось измерение подъемной силы, лобового сопротивления и момента тангажа моделей в широком диапазоне положительных и отрицательных значений углов атаки.

Результаты испытаний каждой модели представлены на двух листах. Первый лист содержит графики зависимостей $C_y = f(\alpha)$, $C_m = f(C_y)$, $C_{x_1} = f(C_y)$, $C_{x_2} = f(C_y)$, а также таблицу значений основных аэродинамических характеристик крыла бесконечного размаха, то есть профиля. На втором листе приведены графики зависимостей $C_y^{\text{макс сеч}} = f(\text{Re})$, $C_{y \text{ макс сеч}} = f(\text{Re})$ и участки кривых $C_y = f(\alpha)$ модели в области околоскритических углов атаки.

Характеристики $dc_y/d\alpha$, $C_{y \text{ опт}}$, $C_{y \text{ макс сеч}}$, $C_{y \text{ мин сеч}}$ профилей были получены путем пересчета экспериментальных данных по методу, изложенному в работе /5/.

Точность определения аэродинамических характеристик моделей при единичном испытании оценивается следующими наибольшими величинами погрешностей:

$$\begin{aligned} \alpha = 0^\circ & \left[\begin{array}{l} \delta C_x = \pm 0,002; \\ \delta C_y = \pm 0,008; \\ \delta m_t = \pm 0,0025; \end{array} \right] & \alpha = 16^\circ & \left[\begin{array}{l} \delta C_x = \pm 0,0025; \\ \delta C_y = \pm 0,013; \\ \delta m_t = \pm 0,005. \end{array} \right] \end{aligned}$$

Приведенные в атласе характеристики крыльев и профилей представлены в скоростной системе осей координат с началом в носке профиля.

Авторы приносят свои извинения за то, что с целью ускорения выхода атласа из печати, аэродинамические коэффициенты приведены в системе обозначений, использованной в предыдущей редакции атласа.

ОПИСАНИЕ ГЕОМЕТРИЧЕСКИХ ДАННЫХ И УСЛОВИЙ ИСПЫТАНИЙ ПРОФИЛЕЙ, ЗАИМСТВОВАННЫХ ИЗ ДОПОЛНИТЕЛЬНЫХ ИСТОЧНИКОВ

В настоящем атласе, кроме полученных авторами, приводятся аэродинамические характеристики профилей, приведенные в других работах /5/, /10/, /11/. Их основные геометрические параметры приведены в таблице 2.

Характеристики профилей **NACA 230** получены на моделях отсеков крыльев удлинением $\lambda = 5 / 5$, аналогичных испытанным авторами и результаты пред-

лены в подобной форме.

Ламинаризированные профили Вортмана (FX) /10/ испытаны в малогурбулентной аэродинамической трубе института аэрогазодинамики в Штуттгарте (ФРГ) с сечением рабочей части $2,73 \times 0,73 \text{ м}^2$. Измерение сил и момента тангажа профиля осуществлялось путем интегрирования распределения давления на модели и в следе за профилем, а также при помощи тензометрических весов. Результаты испытаний представлены в виде зависимостей $C_y = f(\alpha)$, $C_y = f(C_{x_p})$ и $C_{m_{1/4}} = f(\alpha)$ для различных чисел Re . Кроме того, для одного из рассмотренных чисел Рейнольдса в таблице приводятся основные аэродинамические характеристики профиля.

Таблица 2

Профиль	Параметры профиля			
	C	\bar{x}_c	\bar{f}	\bar{x}_f
NACA 23011	0,11	0,30	0,0184	0,15
NACA 23014	0,14	0,30	0,0184	0,15
NACA 23017	0,17	0,30	0,0184	0,15
FX 61-184	0,184	0,36	0,032	0,57
FX 63-137	0,137	0,30	0,059	0,55
FX 60-126	0,126	0,27	0,037	0,56
FX 67-K-170/17	0,17	0,425	0,05	0,39
GA(W)-1	0,17	0,40	0,021	0,65

Аэродинамические характеристики профилей этой серии представлены в скоростной системе осей координат с началом в точке, расположенной на расстоянии $1/4b$ от носика профиля.

Аэродинамические характеристики профиля **GA(W)-1** /11/ получены в малогурбулентной аэродинамической трубе НИЦ им. Лэнгли (США) сечением рабочей части $0,9144 \times 2,286 \text{ м}^2$. Измерение сил и момента тангажа профиля выполнено путем интегрирования распределения давления на модели и в следе за ней. Результаты испытаний профиля приводятся в форме, аналогичной представлению профилей серии FX.

ОБЩИЕ ПОНЯТИЯ

Аэродинамические силы, возникающие от взаимодействия профиля с набегающим потоком, можно условно разделить в соответствии с природой их возникновения на два вида:

- силы, обусловленные нормальными давлениями на поверхности профиля (подъемная сила и сила сопротивления давления);

- сила, вызванная касательными напряжениями и связанная с проявлением вязкости воздуха, - сопротивление трения.

Подъемная сила, действующая на профиль, вызвана разностью давлений на нижней и верхней поверхностях и направлена перпендикулярно вектору скорости на бегающего потока. Точка приложения подъемной силы называется центром давления. Положение центра давления на несимметричном профиле зависит от угла атаки. Поэтому в аэродинамике пользуются более удобным понятием – фокусом. Фокус – это точка приложения приращения подъемной силы, вызванного изменением угла атаки.

Силы вязкости, возникающие при движении слоев воздуха друг относительно друга, оказывают заметное воздействие на течение в тонком слое воздуха, примыкающем к поверхности профиля. В этом слое, называемом пограничным, происходит резкое нарастание скорости по нормали к стенке от нуля (частицы, прилипшие к стенке, полностью заторможены) до местной скорости внешнего течения. Если частицы воздуха послойно движутся в пограничном слое, течение называется ламинарным. При некоторых условиях слоистое (ламинарное) течение разрушается и возникает течение с бурным перемешиванием слоев – турбулентное. Условием, определяющим переход от одного типа течения к другому, является параметр Рейнольдса (Re). Значение параметра Re , при котором происходит переход ламинарного течения в турбулентное, называется критическим числом – Re_{kp} . Величина Re_{kp} существенно зависит от степени шероховатости тела; чем меньше высота микронеровностей, тем выше значение Re_{kp} , тем протяженнее длина ламинарного участка при обтекании тела. Характер течения в пограничном слое оказывает решающее влияние на величину сопротивления трения: при ламинарном течении коэффициент трения в несколько раз ниже, чем при турбулентном.

Рассматривая обтекание профиля на разных углах атаки, можно отметить два принципиально различающихся режима:

а) безотрывное обтекание, когда пограничный слой и течение в целом присоединены к поверхности профиля; при этом подъемная сила связана с углом атаки линейной зависимостью, а сопротивление профиля минимально;

б) обтекание с отрывом пограничного слоя от верхней поверхности профиля, имеющее место на углах атаки $14\text{--}20^\circ$. Этот режим обтекания характерен нарушением линейной зависимости подъемной силы от угла атаки резким повышением сопротивления давления.

ОСНОВНЫЕ АЭРОДИНАМИЧЕСКИЕ ХАРАКТЕРИСТИКИ ПРОФИЛЕЙ

Основным назначением поверхности летательного аппарата является создание силы, которая используется как подъемная, управляющая или стабилизирующая.

Угол атаки профиля, соответствующий нулевой подъемной силе, в основном определяется его кривизной. Относительная толщина профиля мало влияет на величину этого угла.

Производная C_u^α (огношение приращения коэффициента подъемной силы к соответствующему приращению угла атаки)

Для обычных профилей производная C_u^α уменьшается при увеличении относительной толщины. Установлено также, что уменьшение угла схода (угла при задней кромке) профиля приводит к некоторому увеличению значения C_u^α .

Максимальные несущие свойства

Для большинства известных профилей при увеличении относительной толщины до $\bar{C} = 12\%$ значение $C_{u\max}$ возрастает. Дальнейшее увеличение толщины профиля не оказывает существенного влияния на его максимальные несущие свойства. Важно отметить, что увеличение относительной толщины профиля сопровождается возрастанием приращения ΔC_u , вызванного отклонением механизации задней кромки.

Крыловые профили с положением максимальной кривизны вблизи передней кромки проявляют склонность к срыву потока с резкой потерей несущих свойств. Более пологая форма линии зависимости $C_u(\alpha)$ в окрестности $C_{u\max}$ достигается, когда положение максимальной кривизны смешено назад. По влиянию числа Re на $C_{u\max}$ профили можно условно разделить на четыре группы.

К первой группе профилей относятся симметричные профили и профили с малой кривизной не свыше 2–2.5% от хорды, тонкие профили со средней кривизной около 3–4% от хорды и профили со средней кривизной, максимальная ордината которой находится в задней половине хорды профиля. $C_{u\max}$ профилей этой группы возрастает при увеличении числа Re .

Ко второй группе профилей относятся профили толщиной 12–16% со средней кривизной 3–4% от хорды, максимальная ордината которой расположена на расстоянии (0.4–0.45) b от носика. Величина $C_{u\max}$ профилей этой группы весьма слабо убывает при возрастании числа Re .

К третьей группе относятся сильно вогнутые профили со средней кривизной около 3–4%, но с ординатой максимальной кривизны, расположенной на расстоянии (0.2–0.25) b от носика, и толстые профили со средней кривизной.

$C_{u\max}$ этих профилей сильно убывает при возрастании Re .

К четвертой группе принадлежат профили с острой или слегка закругленной передней кромкой. $C_{u\max}$ этих профилей весьма мал (0.4–0.5). Увеличение Re слегка увеличивает значение $C_{u\max}$.

Влияние шероховатости поверхности профиля на его несущие свойства

Экспериментально установлено, что шероховатость поверхности, особенно вблизи передней кромки, сильно воздействует на несущие свойства профиля. Величина $C_{y\max}$ заметно уменьшается с увеличением шероховатости поверхности. Для профиля с шероховатой передней кромкой $C_{y\max}$ медленно увеличивается с ростом числа Re . В то же время шероховатость поверхности, расположенная за положением максимальной толщины профиля, мало влияет на его максимальные несущие свойства и величину C_y^α .

Шероховатость поверхности профиля при толщинах выше 18% приводит к уменьшению производной C_y^α . Для профилей с меньшей относительной толщиной влияние шероховатости на C_y^α гораздо слабее.

Продольный момент

Изменение относительной толщины профиля слабо влияет на величину момента тангажа при нулевой подъемной силе, приводя к незначительному уменьшению его величины при повышении толщины профиля.

Увеличение кривизны профиля сопровождается увеличением продольного момента на пикирование. Фокус профиля при увеличении относительной толщины смещается вперед.

Сопротивление профиля

Значение минимального сопротивления гладкого профиля зависит главным образом от числа Re и прогоянности участка ламинарного обтекания и слабее от относительной толщины и кривизны. Коэффициент сопротивления обычно уменьшается с возрастанием числа Re . Увеличение кривизны профиля практически не приводит к изменениям в значении $C_{x\text{crit}}$. Увеличение относительной толщины профиля, так же как и смещение ее положения к носику, сопровождается повышением минимального лобового сопротивления.

Шероховатость поверхности профиля может значительно увеличить его минимальное сопротивление, поэтому важно сохранять гладкость поверхности при любом характере течения в пограничном слое.

РЕКОМЕНДАЦИИ ПО ВЫБОРУ ПРОФИЛЯ НЕСУЩЕЙ ПОВЕРХНОСТИ

Выбор профиля крыла начинают с оценки параметра, характеризующего минимальную и максимальную скорость летательного аппарата. В качестве такого параметра обычно рассматривают отношение максимального коэффициента подъемной силы при полностью отклоненной механизации к коэффициенту профильного сопротивления при значении C_y , соответствующем полету на максимальной скорости: $\frac{C_{y\max}}{C_{x\text{crit}}}$. Большие значения этого отношения соответствуют большей

достигимой величине максимальной скорости полета при заданной посадочной скорости.

Для оценки качества профиля по рекомендуемому соотношению необходимо брать значение $\frac{C_{y\max}}{C_{x\text{crit}}}$ при числе Re , соответствующем посадочной скорости.

Выбирая профили по критерию $\frac{C_{y\max}}{C_{x\text{crit}}}$ необходимо помнить, что для отдельных классов летательных аппаратов (высокоманевренные самолеты) важно дополнительно соблюдение определенного соотношения $|C_{y\max}|/|C_{y\min}|$, что требует применения профилей близких к симметричным ($\delta = 0$) (например, "С", NACA 230). Для большинства самолетов самодеятельной постройки (неманевренных или ограниченно маневренных самолетов) этот критерий не играет существенной роли. В этом случае можно повысить соотношение $\frac{C_{y\max}}{C_{x\text{crit}}}$ применяя несимметричные профили, имеющие большие значения $C_{y\max}$ и более плавную зависимость $C_y(\alpha)$ в области критических углов атаки, что повысит безопасность при полете на околокритических углах атаки (посадка, кругой вираж).

Среди выбранных классов профилей, равно удовлетворяющих рассмотренной выше оценке, следует отдать предпочтение профилям, имеющим минимальное значение коэффициента продольного момента при нулевой подъемной силе $C_{m\text{crit}}$. Дальнейшее сужение классов рассматриваемых профилей производится на основе удовлетворения дополнительным требованиям, которым должен соответствовать проектируемый летательный аппарат.

Представленные в атласе профили можно условно разделить на несколько групп:

– профили серий Р-II, Р-III, NACA 44, ЦАГИ-846, Гō относятся к классическим профилям, разработанным в 30-е годы. Эти профили обладают хорошими несущими свойствами, плавной зависимостью $C_y(\alpha)$ в области критических углов атаки, не предъявляют особых требований к качеству поверхности и точности выполнения контура профиля. Такие профили могут быть использованы для крыльев с гибкой обшивкой, при этом потери в несущих свойствах и аэродинамическом сопротивлении, по сравнению с жестким крылом, будут не очень значительны. По этой причине такие профили могут найти широкое применение на легких самолетах схематических схем;

– к другой группе профилей относятся Р-IIIА, МС 16/209, Д-2, К-3, NACA 230, NACA 430, GA(W)-1. Они обладают хорошими несущими свойствами и высоким значением отношения $\frac{C_{y\max}}{C_{x\text{crit}}}$. Эти профили предъявляют более высокие требования к соблюдению формы контура и могут быть рекомендованы для применения на легких самолетах с жестким крылом;

– профили серии С обладают высокими несущими свойствами и резким изменением

иением зависимости $C_u(\alpha)$ в области критических углов атаки. Они предъявляют высокие требования к чистоте поверхности и точности контура профиля и предназначены для пилотажно-акробатических самолетов. Применение таких профилей для крыльев любительских самолетов общего назначения нежелательно из-за повышенной опасности к сваливанию;

– ламинаризованные профили серии FX, разработанные Вортманом, обладают высокими несущими свойствами и аэродинамическим качеством, в том числе на малых числах Re . Такие профили могут быть рекомендованы для планеров и легких рекордных самолетов с жестким крылом. Эти профили предъявляют повышенные требования к качеству поверхности и точности выполнения контура профиля при создании летательного аппарата и в процессе эксплуатации.

Координаты профилей

ПРОФИЛЬ СИБНИА С-18/14

$\bar{x}, \%$	$\bar{y}_B, \%$	$-\bar{y}_H, \%$
0, 000	0, 000	0, 000
0, 200	1, 639	1, 275
0, 500	2, 545	1, 979
1, 000	3, 521	2, 739
1, 500	4, 336	3, 294
2, 000	4, 812	3, 743
2, 500	5, 300	4, 122
3, 000	5, 723	4, 451
3, 500	6, 095	4, 740
4, 000	6, 426	4, 998
4, 500	6, 724	5, 230
5, 000	6, 993	5, 439
5, 500	7, 236	5, 628
6, 000	7, 456	5, 799
7, 000	7, 838	6, 096
8, 000	8, 151	6, 340
9, 000	8, 406	6, 538
10, 000	8, 609	6, 696
11, 000	8, 766	6, 818
12, 000	8, 880	6, 907
13, 000	8, 955	6, 965
14, 000	8, 994	6, 996
15, 000	9, 000	7, 000
16, 000	8, 973	6, 979
17, 000	8, 916	6, 934
18, 000	8, 830	6, 868
19, 000	8, 723	6, 785
20, 000	8, 616	6, 702
25, 000	8, 081	6, 285
30, 000	7, 545	5, 868
35, 000	7, 009	5, 452
40, 000	6, 473	5, 035
45, 000	5, 938	4, 618
50, 000	5, 402	4, 202
55, 000	4, 866	3, 785
60, 000	4, 331	3, 368
65, 000	3, 795	2, 952
70, 000	3, 259	2, 535
75, 000	2, 724	2, 118
80, 000	2, 188	1, 702
85, 000	1, 652	1, 285
90, 000	1, 116	0, 868
95, 000	0, 581	0, 452
100, 000	0, 045	0, 035

ПРОФИЛЬ НАСА 23011

$\bar{x}_B, \%$	$\bar{y}_B, \%$	$\bar{x}_H, \%$	$\bar{y}_H, \%$
0, 000	0, 000	0, 000	0, 000
0, 588	1, 796	1, 412	-1, 216
1, 541	2, 662	2, 459	-1, 566
3, 452	3, 883	4, 548	-1, 931
5, 512	4, 791	6, 488	-2, 179
7, 617	5, 469	8, 383	-2, 389
9, 736	5, 981	10, 264	-2, 587
15, 000	6, 735	15, 000	-3, 065
20, 116	7, 019	19, 884	-3, 497
30, 122	7, 047	29, 878	-3, 953
40, 118	6, 846	39, 882	-3, 993
50, 107	5, 962	49, 893	-3, 752
60, 092	5, 066	59, 908	-3, 298
70, 074	4, 022	69, 926	-2, 696
80, 053	2, 846	79, 947	-1, 962
90, 029	1, 548	89, 971	-1, 106
95, 016	0, 842	94, 984	-0, 620
100, 000	0, 116	100, 000	-0, 116

ПРОФИЛЬ НАСА 23014

$\bar{x}_B, \%$	$\bar{y}_B, \%$	$\bar{x}_H, \%$	$\bar{y}_H, \%$
0, 000	0, 000	0, 000	0, 000
0, 476	2, 207	1, 524	-1, 627
1, 416	3, 238	2, 584	-2, 142
3, 302	4, 676	4, 698	-2, 724
5, 379	5, 741	6, 621	-3, 129
7, 512	6, 541	8, 488	-3, 461
9, 663	7, 149	10, 337	-3, 755
15, 000	8, 071	15, 000	-4, 401
20, 148	8, 453	19, 852	-4, 931
30, 155	8, 547	29, 845	-5, 453
40, 150	8, 096	39, 850	-5, 444
50, 137	7, 287	49, 863	-5, 077
60, 118	6, 207	59, 882	-4, 439
70, 095	4, 938	69, 906	-3, 612
80, 068	3, 501	79, 932	-2, 617
90, 037	1, 910	89, 963	-1, 468
95, 021	1, 042	94, 979	-0, 820
100, 000	0, 147	100, 000	-0, 147

ПРОФИЛЬ НАСА 23017

$\bar{x}_B, \%$	$\bar{y}_B, \%$	$\bar{x}_H, \%$	$\bar{y}_H, \%$
0, 000	0, 000	0, 000	0, 000
0, 364	2, 618	1, 636	-2, 038
1, 291	3, 814	2, 709	-2, 718
3, 153	5, 468	4, 847	-3, 516
5, 246	6, 692	6, 754	-4, 080
7, 408	7, 612	8, 592	-4, 532
9, 591	8, 318	10, 409	-4, 924
15, 000	9, 407	15, 000	-5, 737
20, 180	9, 887	19, 820	-6, 365
30, 188	10, 047	29, 812	-6, 953
40, 182	9, 546	39, 818	-6, 894
50, 166	8, 612	49, 834	-6, 402
60, 143	7, 348	59, 857	-5, 580
70, 115	5, 854	69, 885	-4, 528
80, 082	4, 157	79, 918	-3, 273
90, 045	2, 272	89, 955	-1, 830
95, 025	1, 241	94, 975	-1, 019
100, 000	0, 179	100, 000	-0, 179

ПРОФИЛЬ FX61-184
 $C = 0, 184$

\bar{x} , %	\bar{y}_B , %	\bar{y}_H , %
0, 000	0, 000	0, 000
0, 102	0, 812	-0, 243
0, 422	1, 520	-0, 671
0, 960	2, 251	-1, 103
1, 702	3, 006	-1, 538
2, 650	3, 790	-1, 975
3, 802	4, 598	-2, 414
5, 158	5, 407	-2, 851
6, 694	6, 205	-3, 285
8, 422	6, 980	-3, 713
10, 330	7, 724	-4, 129
12, 403	8, 427	-4, 529
14, 643	9, 082	-4, 906
17, 037	9, 681	-5, 251
19, 558	10, 228	-5, 560
22, 221	10, 710	-5, 831
24, 998	11, 127	-6, 055
27, 891	11, 466	-6, 230
30, 861	11, 724	-6, 349
33, 933	11, 893	-6, 407
37, 056	11, 973	-6, 400
40, 243	11, 958	-6, 320
43, 469	11, 850	-6, 156
46, 733	11, 646	-5, 895
49, 997	11, 355	-5, 524

ПРОФИЛЬ FX63-137
 $C = 0, 137$

\bar{x} , %	\bar{y}_B , %	\bar{y}_H , %
0, 000	0, 000	0, 000
0, 102	1, 012	-0, 232
0, 422	1, 880	-0, 566
0, 960	2, 740	-0, 995
1, 702	3, 625	-1, 254
2, 650	4, 420	-1, 537
3, 802	5, 248	-1, 698
5, 158	6, 005	-1, 887
6, 694	6, 836	-1, 992
8, 422	7, 555	-2, 122
10, 330	8, 313	-2, 180
12, 403	8, 961	-2, 256
14, 643	9, 622	-2, 263
17, 037	10, 165	-2, 280
19, 558	10, 704	-2, 220
22, 221	11, 122	-2, 161
24, 998	11, 522	-2, 034
27, 891	11, 792	-1, 895
30, 861	12, 024	-1, 688
33, 933	12, 128	-1, 460
37, 056	12, 191	-1, 167
40, 243	12, 137	-0, 848
43, 469	12, 042	-0, 486
46, 733	11, 833	-0, 103
49, 997	11, 578	0, 307

ПРОФИЛЬ FX60-126

$\bar{C} = 0, 126$

\bar{x} , %	\bar{y}_6 , %	\bar{y}_H , %	\bar{x} , %
0, 000	0, 000	0, 000	53, 274
0, 102	0, 675	-0, 301	56, 525
0, 422	1, 349	-0, 641	59, 750
0, 860	2, 096	-1, 012	62, 938
1, 702	2, 802	-1, 404	66, 074
2, 650	3, 493	-1, 792	69, 133
3, 802	4, 174	-2, 132	72, 115
5, 158	4, 808	-2, 482	74, 995
6, 694	5, 457	-2, 761	77, 773
8, 422	6, 021	-3, 045	80, 435
10, 330	6, 585	-3, 262	82, 970
12, 403	7, 077	-3, 465	85, 350
14, 643	7, 555	-3, 598	87, 690
17, 037	7, 958	-3, 707	89, 644
19, 658	8, 327	-3, 746	91, 571
22, 221	8, 615	-3, 751	93, 299
24, 998	8, 859	-3, 683	94, 848
27, 891	9, 019	-3, 574	96, 192
30, 861	9, 130	-3, 392	97, 344
33, 933	9, 160	-3, 167	98, 291
37, 056	9, 138	-2, 877	99, 034
40, 243	9, 041	-2, 553	99, 571
43, 469	8, 893	-2, 188	99, 891
46, 733	8, 679	-1, 814	100, 000
49, 997	8, 425	-1, 421	

ПРОФИЛЬ FX67-K-170/17

$\bar{C} = 0, 17$

\bar{x} , %	\bar{y}_6 , %	\bar{y}_H , %	\bar{x} , %
0, 000	0, 000	0, 000	43, 474
0, 107	0, 653	-0, 217	46, 730
0, 428	1, 292	-0, 514	50, 000
0, 961	2, 012	-0, 815	53, 270
1, 704	2, 765	-1, 057	56, 526
2, 653	3, 487	-1, 321	59, 755
3, 806	4, 309	-1, 580	62, 941
5, 156	5, 158	-1, 827	66, 072
6, 699	6, 011	-2, 062	69, 134
8, 427	6, 856	-2, 282	72, 114
10, 332	7, 685	-2, 490	75, 000
12, 408	8, 490	-2, 682	77, 779
14, 645	9, 263	-2, 856	80, 438
17, 033	9, 994	-3, 011	82, 967
25, 000	11, 870	-3, 354	91, 573
27, 866	12, 365	-3, 425	94, 844
30, 866	12, 783	-3, 474	97, 347
33, 928	13, 119	-3, 499	99, 039
37, 059	13, 370	-3, 501	99, 893
40, 245	13, 526	-3, 480	100, 000

\bar{x} , %	\bar{y}_6 , %	\bar{y}_H , %	\bar{x} , %
0, 000	0, 000	0, 000	43, 474
0, 107	0, 653	-0, 217	46, 730
0, 428	1, 292	-0, 514	50, 000
0, 961	2, 012	-0, 815	53, 270
1, 704	2, 765	-1, 057	56, 526
2, 653	3, 487	-1, 321	59, 755
3, 806	4, 309	-1, 580	62, 941
5, 156	5, 158	-1, 827	66, 072
6, 699	6, 011	-2, 062	69, 134
8, 427	6, 856	-2, 282	72, 114
10, 332	7, 685	-2, 490	75, 000
12, 408	8, 490	-2, 682	77, 779
14, 645	9, 263	-2, 856	80, 438
17, 033	9, 994	-3, 011	82, 967
25, 000	11, 870	-3, 354	91, 573
27, 866	12, 365	-3, 425	94, 844
30, 866	12, 783	-3, 474	97, 347
33, 928	13, 119	-3, 499	99, 039
37, 059	13, 370	-3, 501	99, 893
40, 245	13, 526	-3, 480	100, 000

ПРОФИЛЬ NASA GA(W)-1

 $\bar{c} = 0,17$

$\bar{x}, \%$	$\bar{y}_B, \%$	$\bar{y}_H, \%$
0, 000	0, 000	0, 000
0, 200	1, 300	-0, 974
0, 500	2, 035	-1, 444
1, 250	3, 069	-2, 052
2, 500	4, 165	-2, 691
3, 750	4, 974	-3, 191
5, 000	5, 600	-3, 569
7, 500	6, 561	-4, 209
10, 000	7, 309	-4, 700
12, 500	7, 909	-5, 087
15, 000	8, 413	-5, 426
17, 500	8, 848	-5, 700
20, 000	9, 209	-5, 926
25, 000	9, 778	-6, 265
30, 000	10, 169	-6, 448
35, 000	10, 409	-6, 517
40, 000	10, 500	-6, 483
45, 000	10, 456	-6, 344
50, 000	10, 269	-6, 091
55, 000	9, 917	-5, 683
57, 500	9, 674	-5, 396
60, 000	9, 374	-5, 061
62, 500	9, 013	-4, 678
65, 000	8, 604	-4, 265
67, 500	8, 144	-3, 830
70, 000	7, 639	-3, 383
72, 500	7, 096	-2, 930
75, 000	6, 517	-2, 461
77, 500	5, 913	-2, 030
80, 000	5, 291	-1, 587
82, 500	4, 644	-1, 191
85, 000	3, 983	-0, 852
87, 500	3, 313	-0, 565
90, 000	2, 639	-0, 352
92, 500	1, 965	-0, 248
95, 000	1, 287	-0, 257
97, 500	0, 604	-0, 396
100, 000	-0, 074	-0, 783

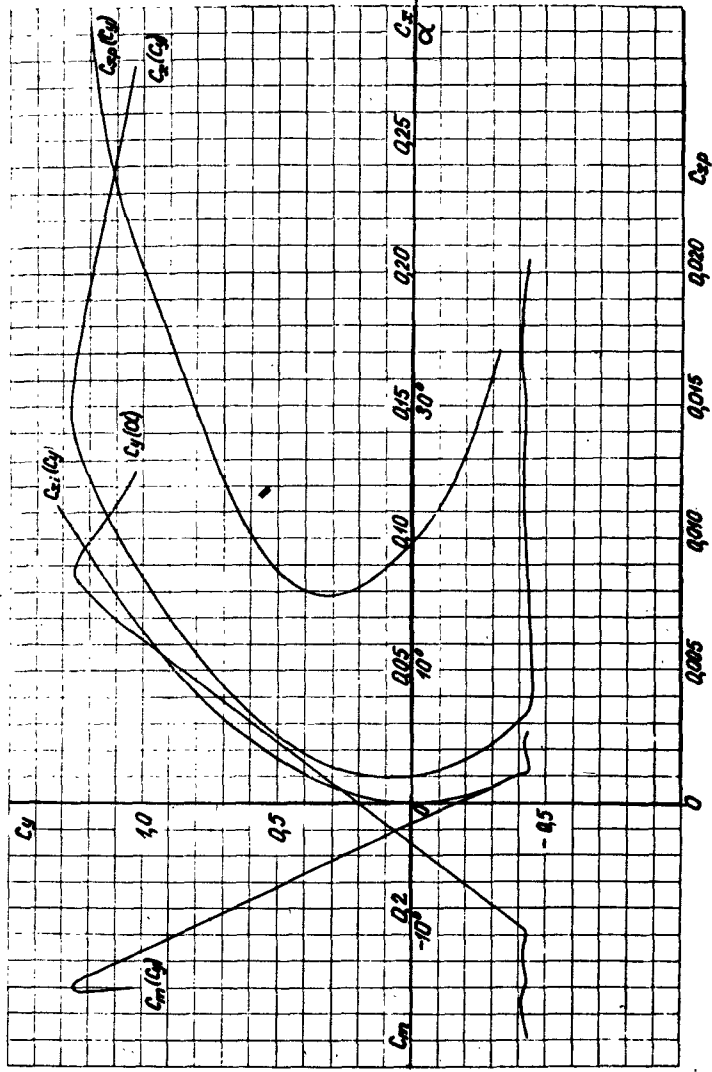
*Аэродинамические
характеристики профилей*

ПРОФИЛЬ ЦАГИ Р-II-12

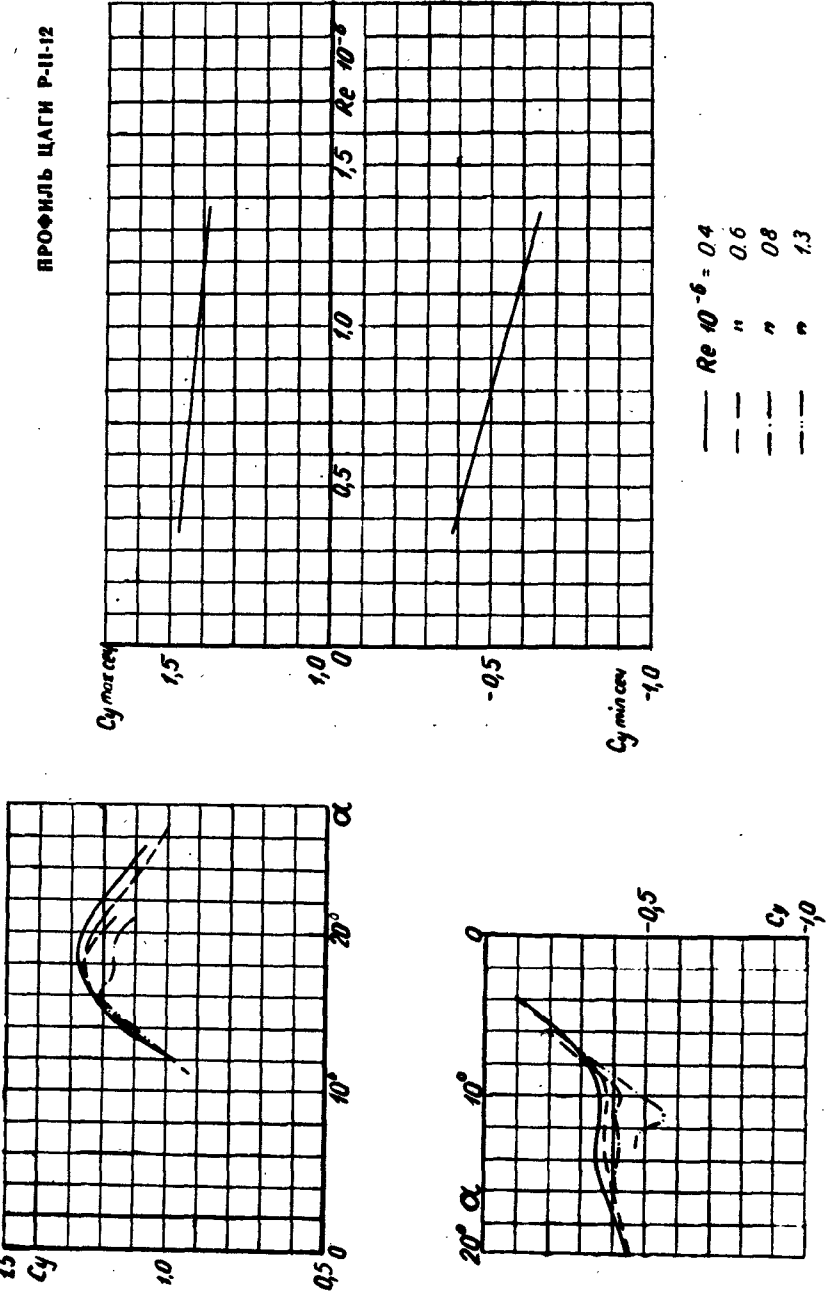


Основные аэродинамические характеристики сечения ($\lambda = \infty$)

Серийный №	Л. №	Л. №	Сумма	Сумма	Коэф.	Коэф.	Коэф.
40078	0320	40887-3-2	312	311	-0,990	-0,042	-0,235



АРОФИЛЬ ЦАГИ Р-II-12

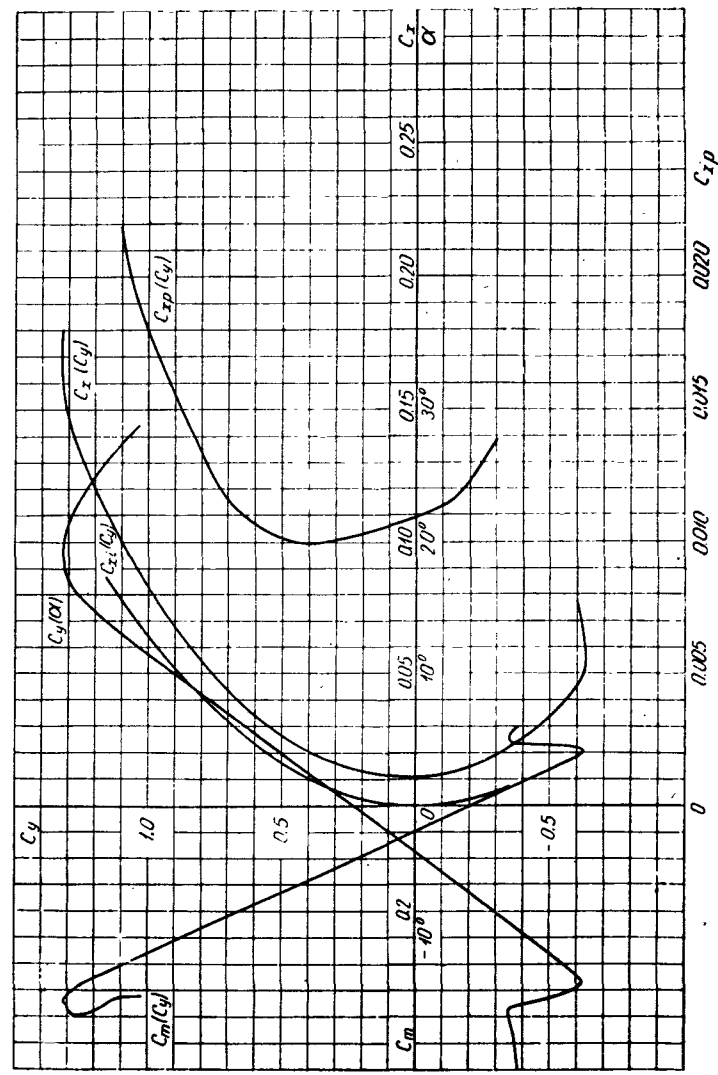


ПРОФИЛЬ ЦАГИ Р-II-14

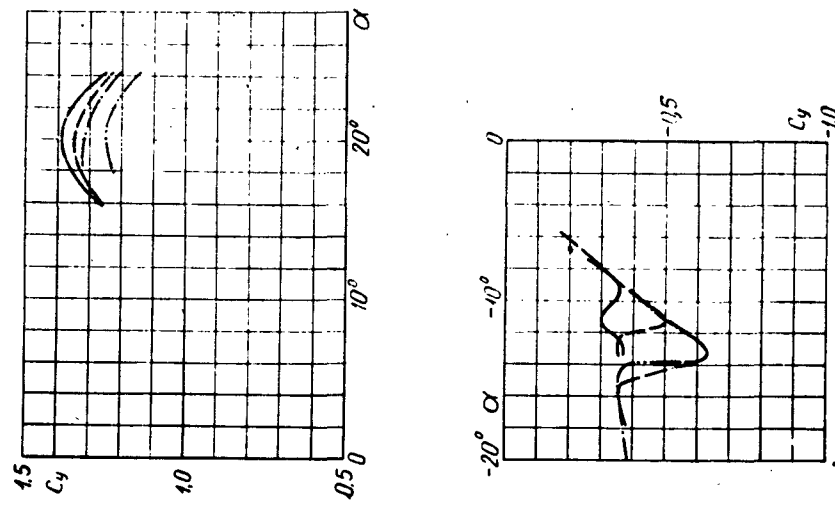


Основные аэродинамические характеристики сечения ($\lambda = \infty$)

C_{x0} Суд.	C_{z0}	A_0	$\frac{dC_x}{d\alpha}$	$C_y, \text{расч}$	$C_{y, \text{расч}}$	$\frac{\partial C_x}{\partial \alpha}$	$C_{y, \text{расч}}$	$\frac{C_y, \text{расч}}{C_{x0}}$	$R_e 10^6$	$R_e 10^6$
0.41	0.0011	-3.4	5.22	1.42	-0.81	-0.048	0.232	1.52	80.7	87.4



ПРОФИЛЬ ЦАГИ Р-II-14

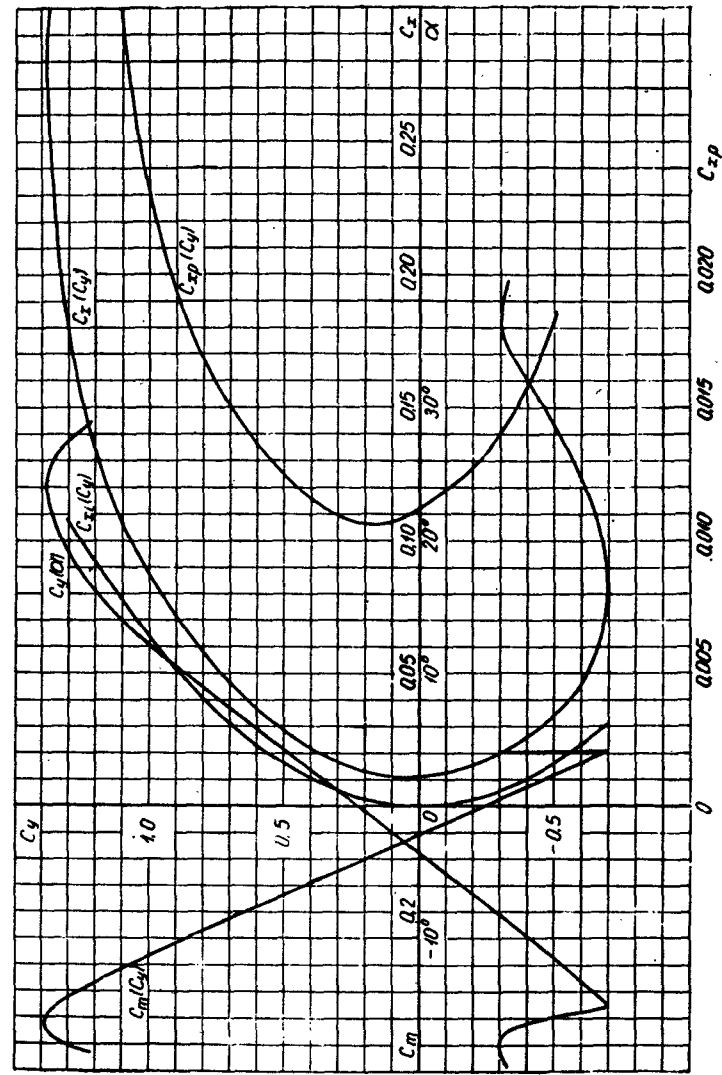


ПРОФИЛЬ ЦАГИ Р-II-18

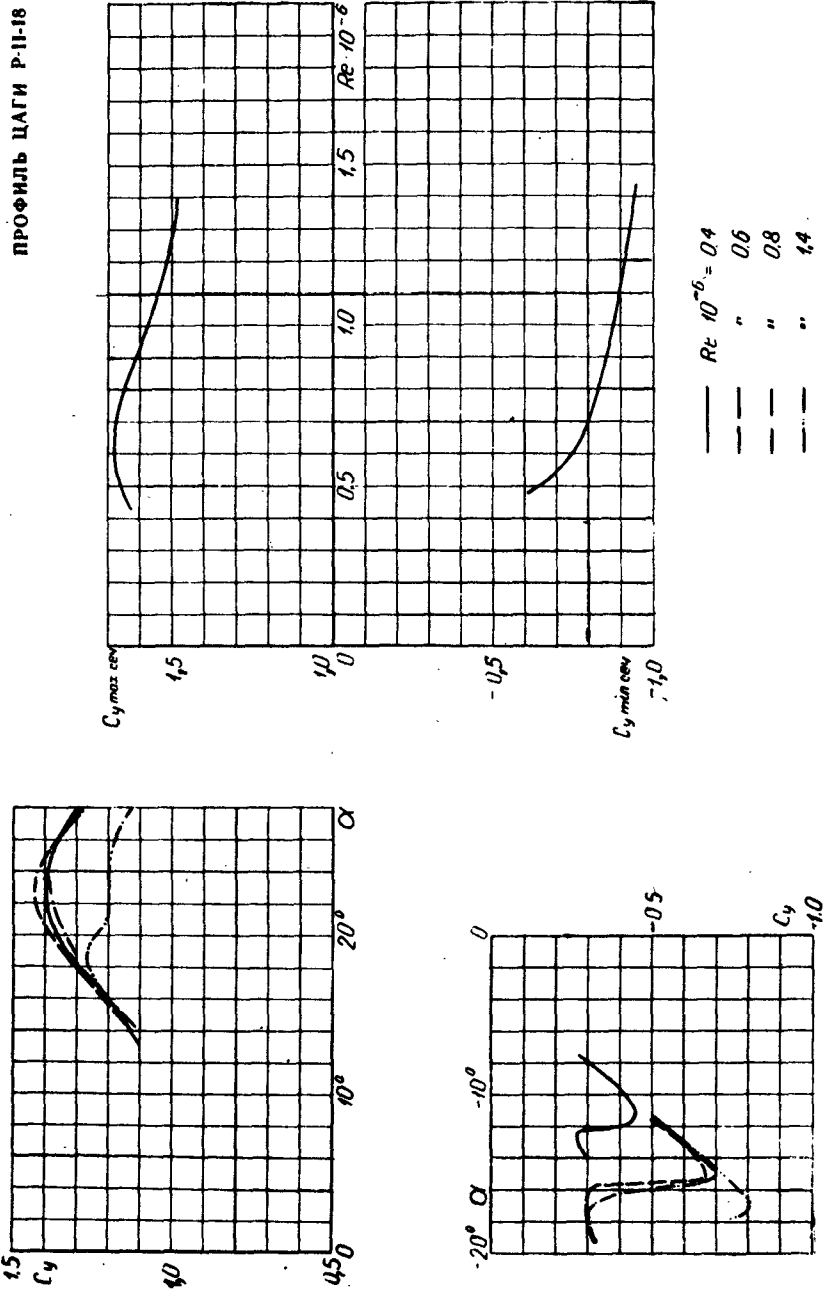


Основные аэродинамические характеристики сечения ($\lambda = \infty$)

Геометрическая форма	C_x	C_y	C_z	C_m	Сумма кинематических коэффициентов	Минимум коэффициента подъемной силы	Максимум коэффициента подъемной силы	Минимум коэффициента сопротивления
0.050 0.050 0.050 2.002 -18 4.95 1.03 -0.82 0.056 0.056 0.227 15.4 47.5 0.006 45.3 0.77								



ПРОФИЛЬ ЦАГИ Р-II-18

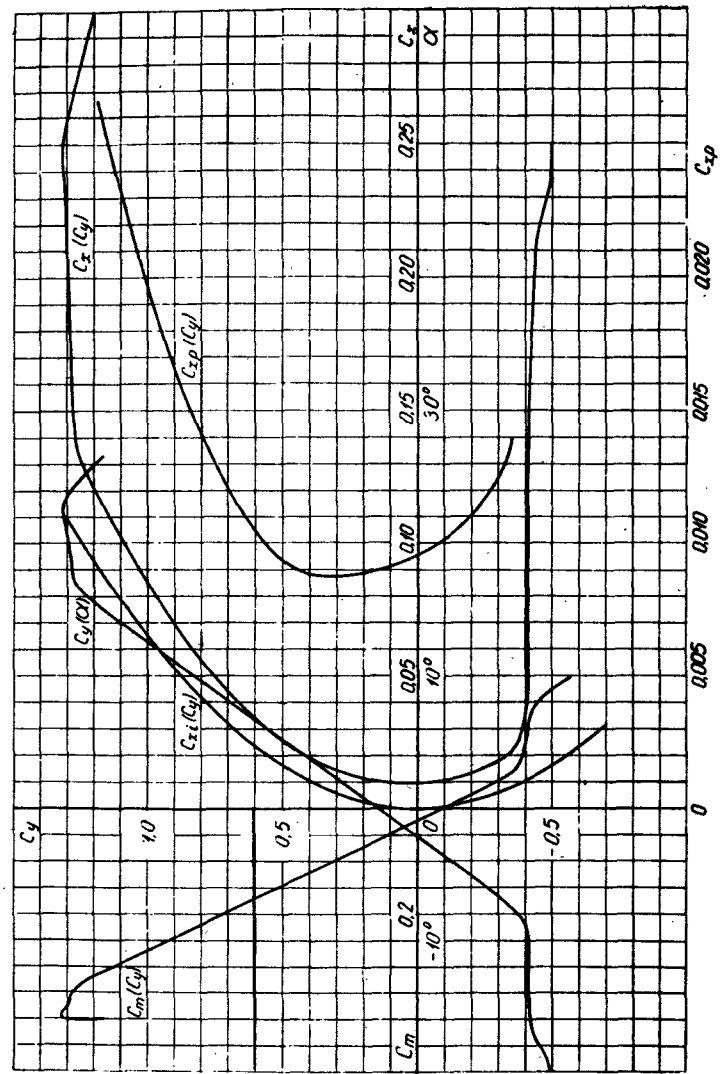


ПРОФИЛЬ ЦАГИ Р-III-12

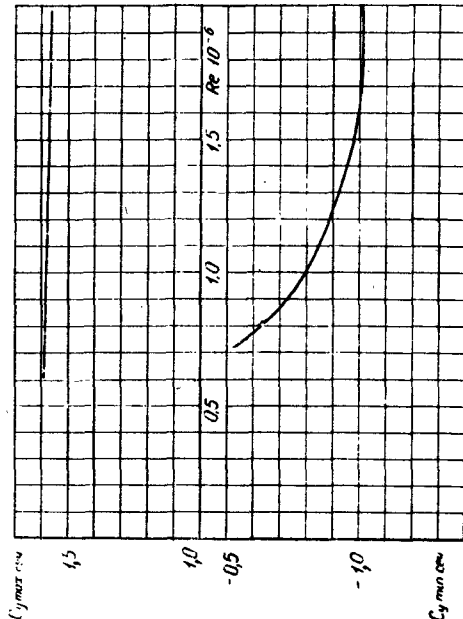
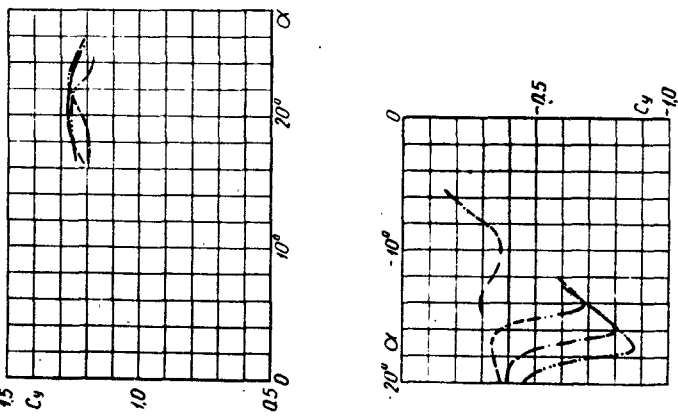


Основные аэродинамические характеристики сечения ($\lambda = \infty$)

$C_{x,\text{расп}}$	C_y	α	$\frac{dC_x}{d\alpha}$	$C_{y,\text{расп}}$	C_m	$\frac{dC_m}{d\alpha}$	$C_{\text{установ}}$	R_e
0.0087	0.33	0.0096	-2°	5.48	1.595	-0.022	-0.247	173



ПРОФИЛЬ ЦАГИ Р-III-12

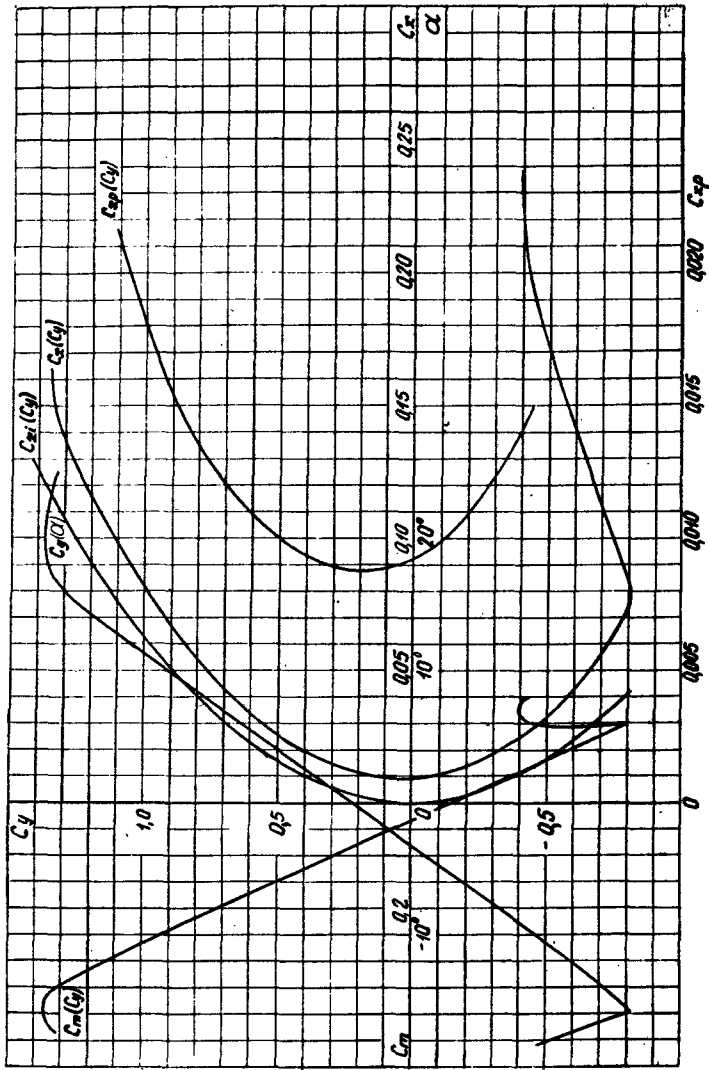


ПРОФИЛЬ ЦАГН Р-III-15,5

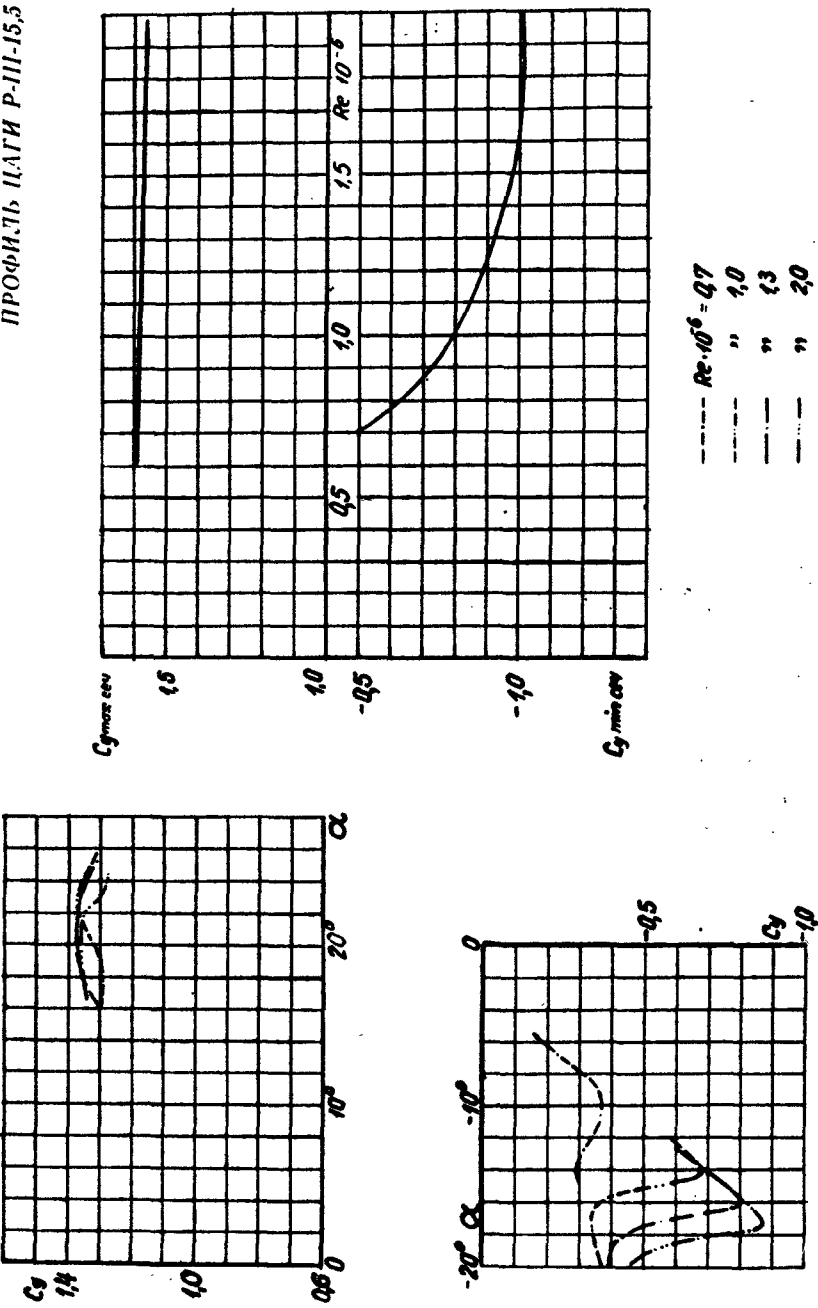


Основные аэродинамические характеристики сечения $R = \infty$)

$C_{x_{min}}/C_{x_{max}}$	C_x	α_0	$\frac{dC_x}{d\alpha}$	$C_{y_{min}}/C_{y_{max}}$	$\frac{dC_y}{d\alpha}$	$C_{z_{min}}/C_{z_{max}}$	$\frac{dC_z}{d\alpha}$	K_{max}	$C_{y_{min}}$	$C_{y_{max}}$	$\alpha_0 \cdot 10^{-3}$		
0.00885	0.21	0.092	-3.2	5.44	1.58	4952	4035	4228	380	53.2	4780	53.1	1.37



ПРОФИЛЬ ЦАГН Р-III-15,5

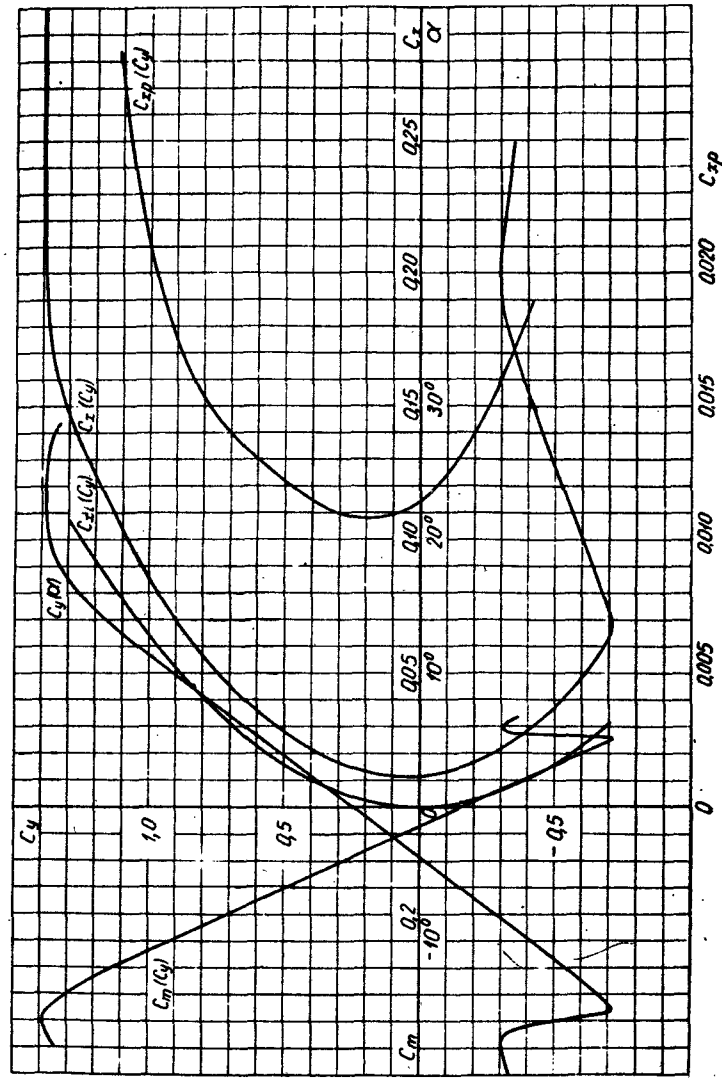


ПРОФИЛЬ Р-III-18



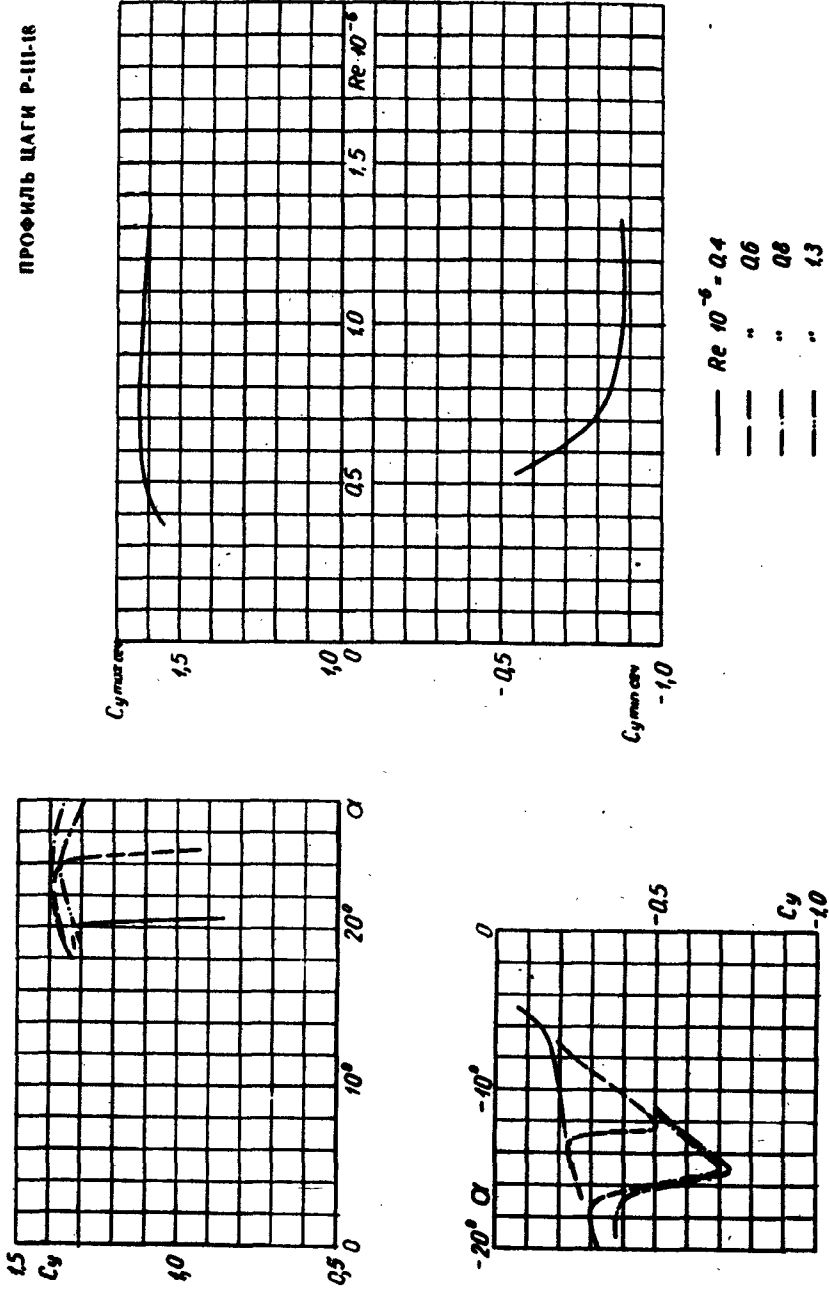
Основные аэродинамические характеристики сечения ($\lambda = \infty$)

$C_{x, \text{стаб}}$	$C_{y, \text{стаб}}$	C_x	C_y	$\frac{dC_y}{dC_x}$	$C_{\text{тест}} C_{\text{стаб}}$	$C_{\alpha, \text{стаб}}$	$\frac{dC_x}{dC_\alpha}$	$C_{\text{тест}} C_{\alpha, \text{стаб}}$	$C_{\text{тест}} C_{\alpha}$	$\frac{dC_\alpha}{dC_{\text{тест}}}$
0.008	0.200	0.014	-3°8	5.16	1.63	-0.83	-0.36	-0.228	151	52.2



36

ПРОФИЛЬ ШАГИ Р-III-18

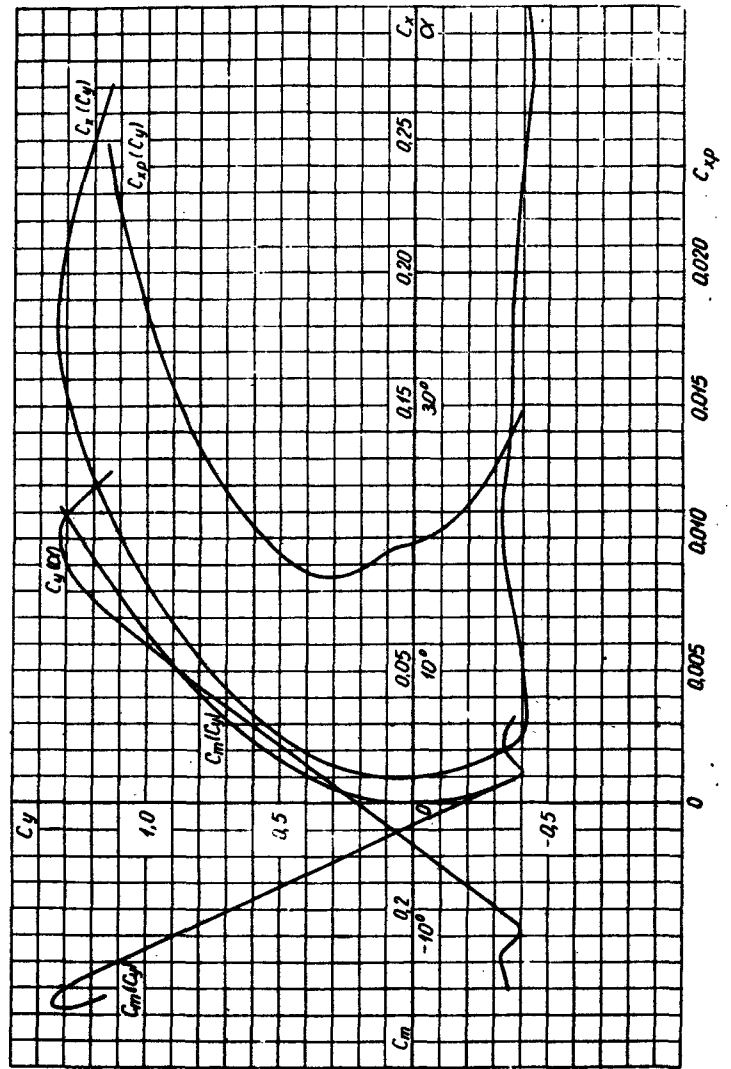


37

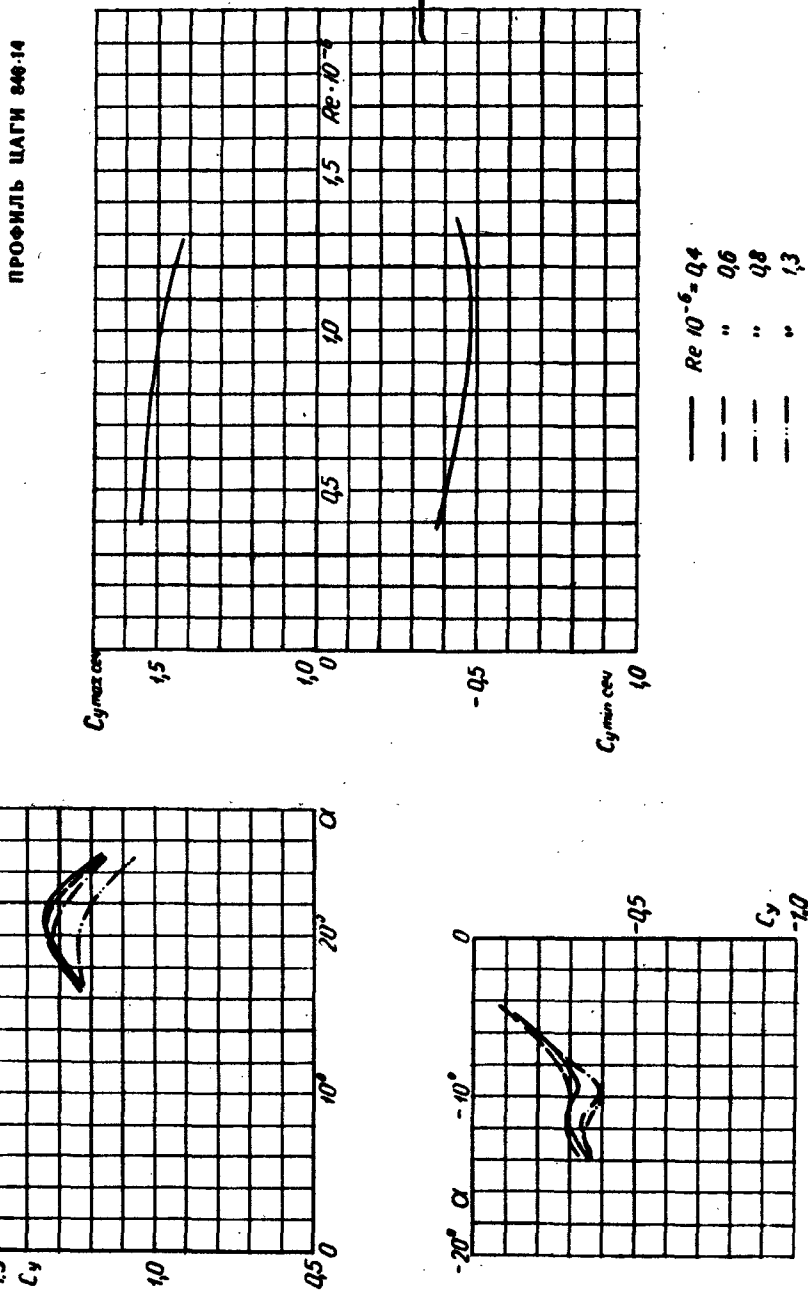
ПРОФИЛЬ ЦАГИ 846-14

Основные аэродинамические характеристики сечения ($\lambda = \infty$)

Сечение	Удл	С.п.	С.п.	Сумма	С.п.	Угл.	Коэф. сопр.						
ЦАГИ 846-14	0.31	0.0088	-52	5.22	153	-0.07	-0.042	0.249	180	59.8	0.745	54.6	0.77



ПРОФИЛЬ ЦАГИ 846-14

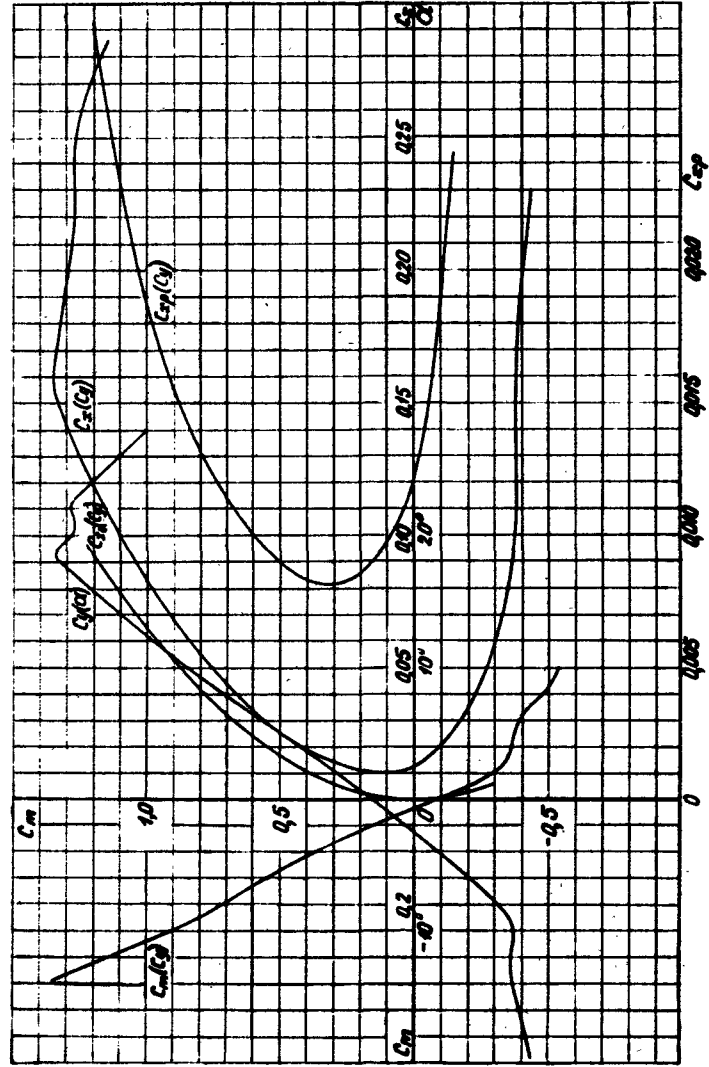


ПРОФИЛЬ НАСА 43012A

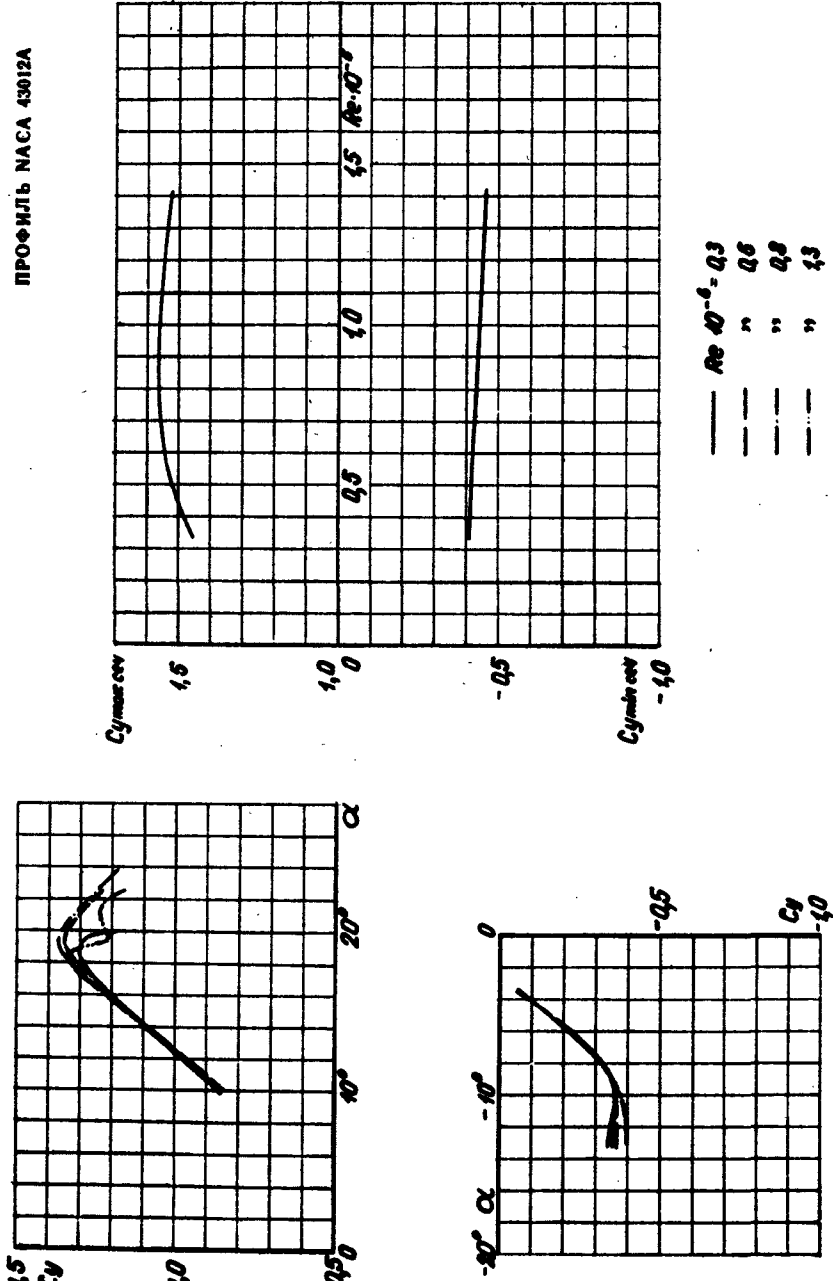


Основные аэродинамические характеристики сечения ($\lambda = \infty$)

$C_{x_{\text{норм}}}$	C_{x_0}	C_x	$C_{x_{\text{норм}}}$	$C_{y_{\text{норм}}}$	C_{y_0}	C_y	$C_{z_{\text{норм}}}$	C_{z_0}	C_z	$C_{\alpha_{\text{норм}}}$	C_{α_0}	C_{α}	$C_{\beta_{\text{норм}}}$	C_{β_0}	C_{β}
0,0081	0,200	0,021	-2,0	4,80	1,58	2,921	0,018	192	0,14	4,7	54,6	4,6	0,0	0,0	0,0



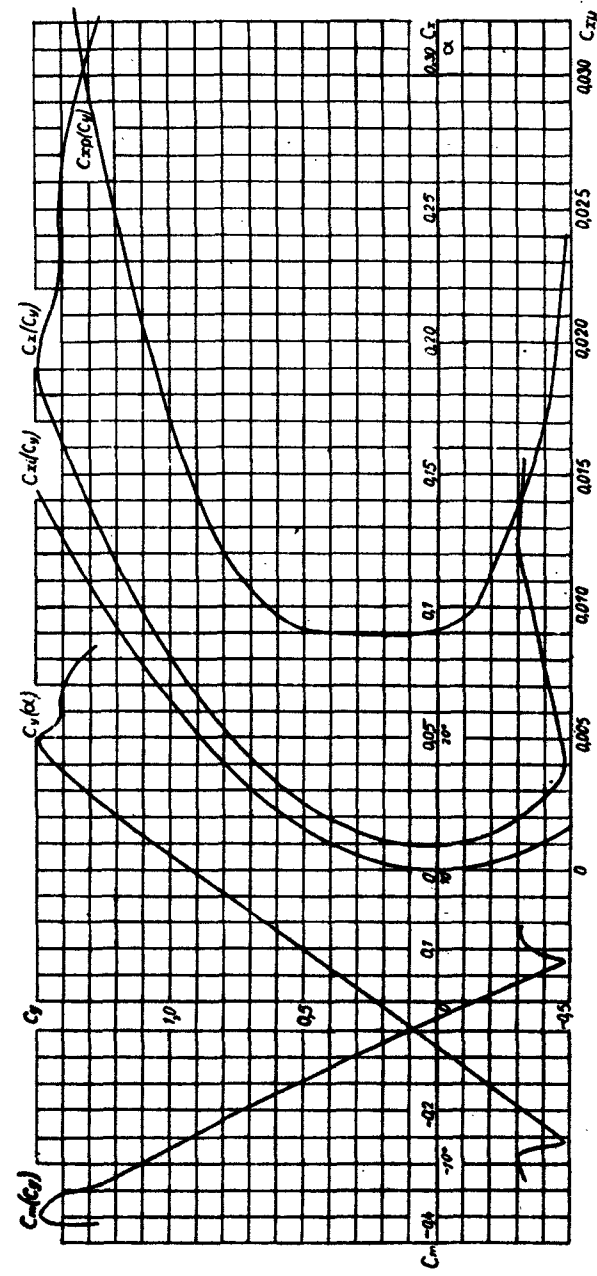
ПРОФИЛЬ НАСА 43012A



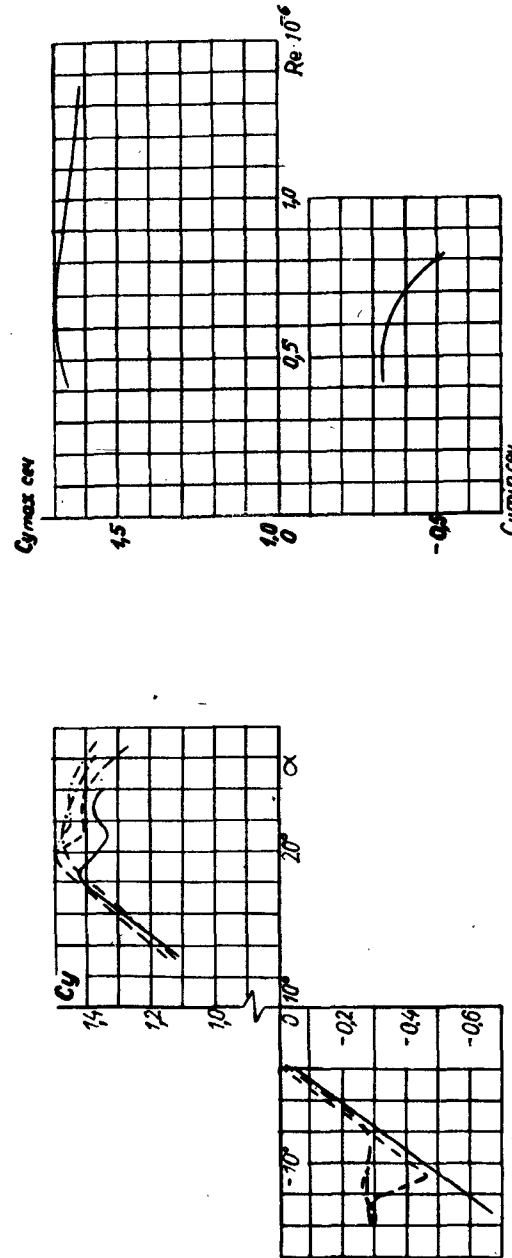
ПРОФИЛИ Р-III.1.1.

Основные аэродинамические характеристики сечения $\lambda = \infty$

$C_{l\alpha}$	$C_{m\alpha}$	$C_{r\alpha}$	α_0	δ	$C_{l\delta}$	$C_{m\delta}$	$C_{r\delta}$	$\frac{dC_l}{d\alpha}$	$\frac{dC_m}{d\alpha}$	$\frac{dC_r}{d\alpha}$	$C_{l\text{кр}}$	$C_{m\text{кр}}$	$C_{r\text{кр}}$	$R_e \cdot 10^6$
-0.0089	0.015	0.009	-3.5	5.49	1.08	-0.23	-0.02	-0.228	-0.228	-0.228	0.7	0.77	0.8	4835



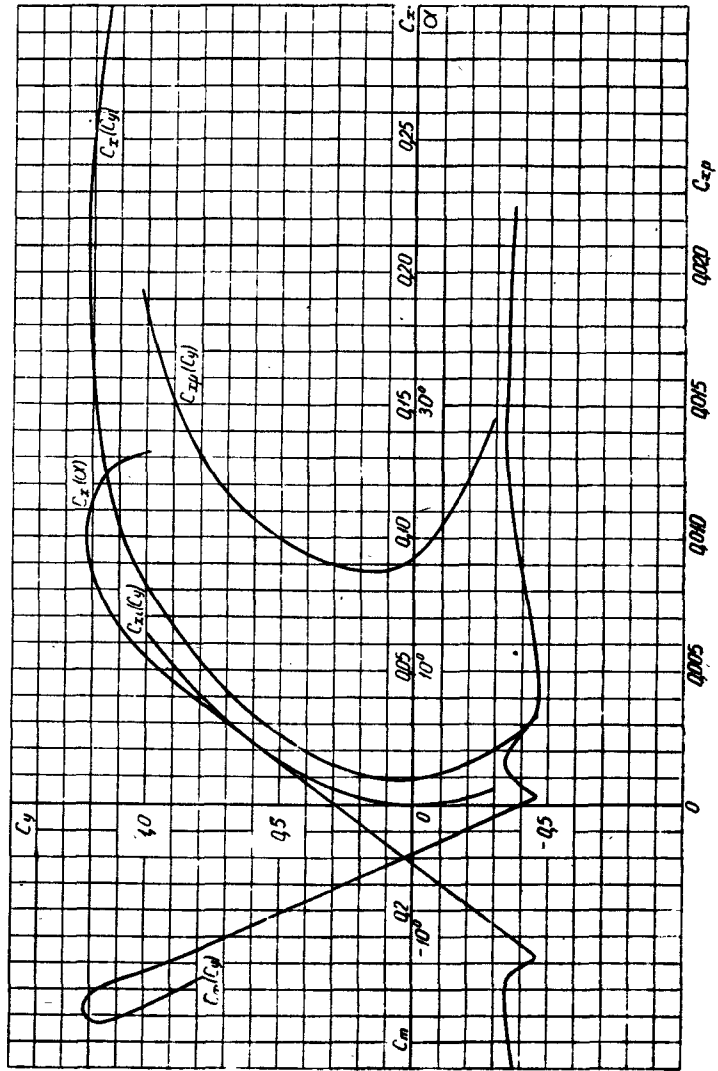
ПРОФИЛЬ Р-IIIА-15



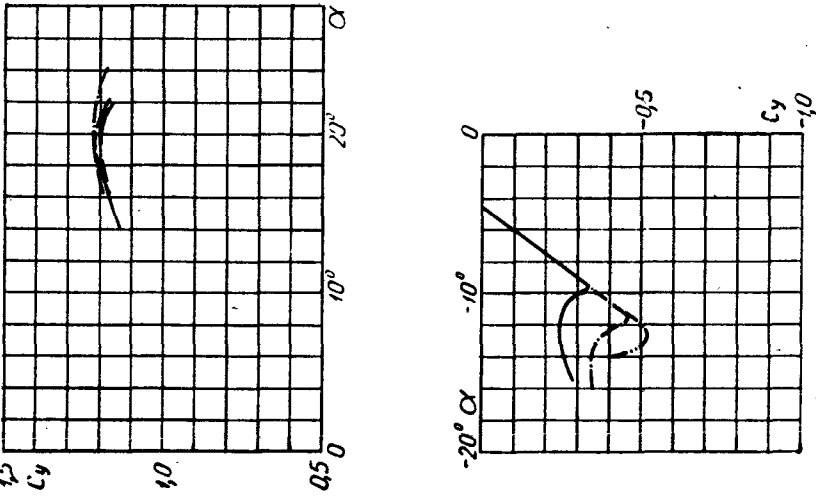
ПРОФИЛЬ NASA 4412

Основные аэродинамические характеристики сечения ($\lambda = \infty$)

Схема Сорек	C_x	α_0	$\frac{dC_x}{d\alpha}$	Сумма бутыл	$C_{x,0}$	$\frac{dC_x}{dC_u}$	Красн.	$C_{x,0}^{+2}$	$\frac{dC_x}{d\alpha}^{+2}$
0.0088	-4.4	5.17	1.39	-0.524	-0.093	-0.229	15.8	60.8	0.020
0.0088	0.002	5.17	1.39	-0.524	-0.093	-0.229	15.8	60.8	0.020



ПРОФИЛЬ NASA 4412



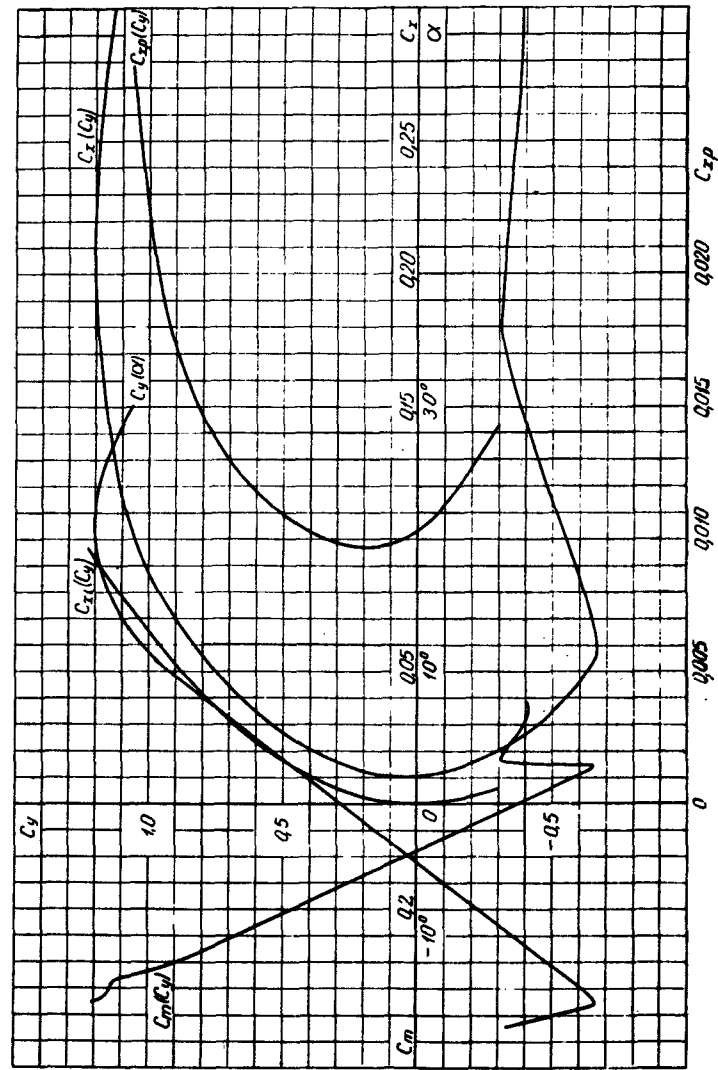
$Re 10^{-6} = 0.4$
 " " 0.6
 " " 0.8
 " " 1.3

ПРОФИЛЬ NASA 4415



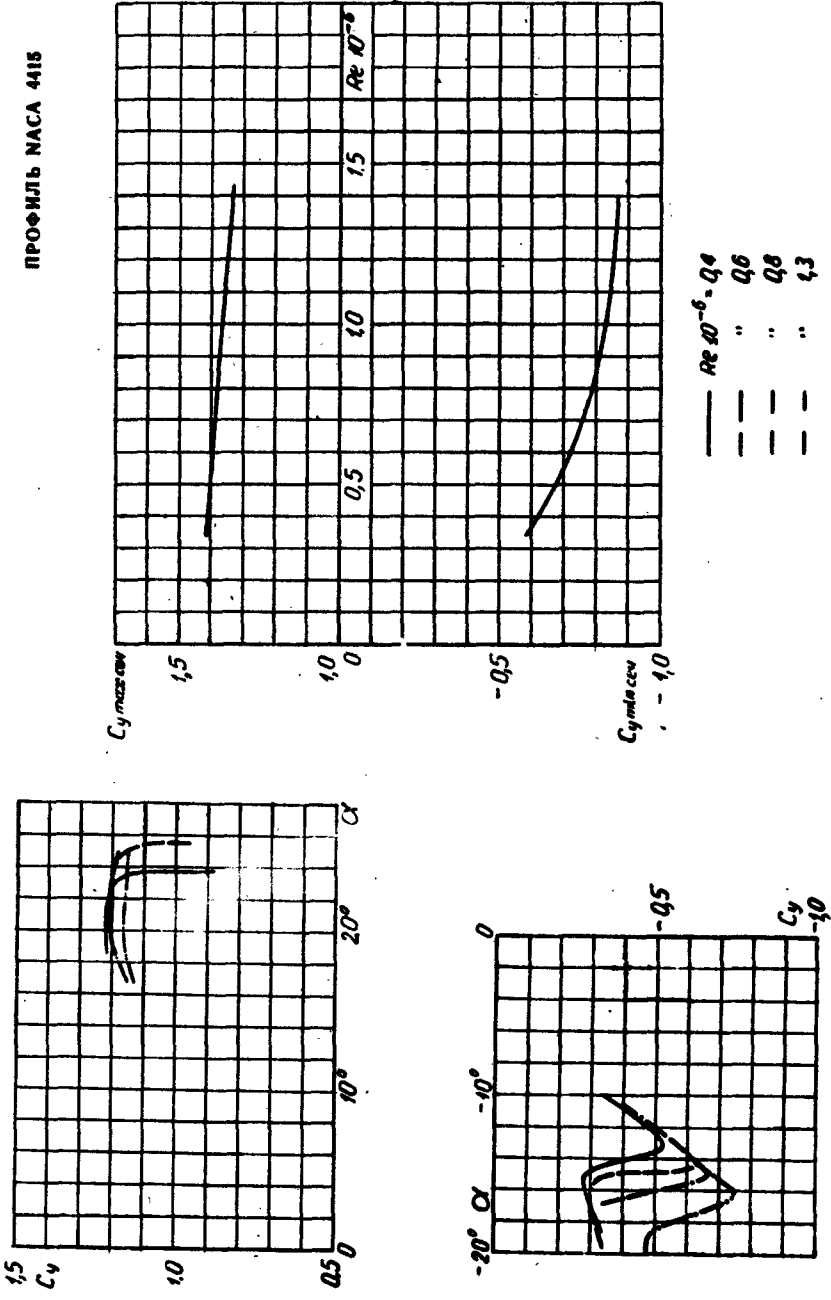
Основные aerодинамические характеристики сечения ($\lambda = \infty$)

$C_{x, \text{стаб}}$	$C_{y, \text{стаб}}$	C_D	$\frac{dC_x}{d\alpha}$	$C_{x, \text{макс}}$	$C_{y, \text{макс}}$	$\frac{dC_y}{d\alpha}$	$C_{y, \text{норм}}$	$\frac{d^2C_x}{d\alpha^2}$	$C_{x, \text{норм}}$	$\frac{d^2C_y}{d\alpha^2}$	$C_{y, \text{норм}}$	
-0.2200	0.2002	-1.24	4.96	1.38	0.765	0.091	0.235	142	54.6	0.705	49.9	0.04



46

ПРОФИЛЬ NASA 4415

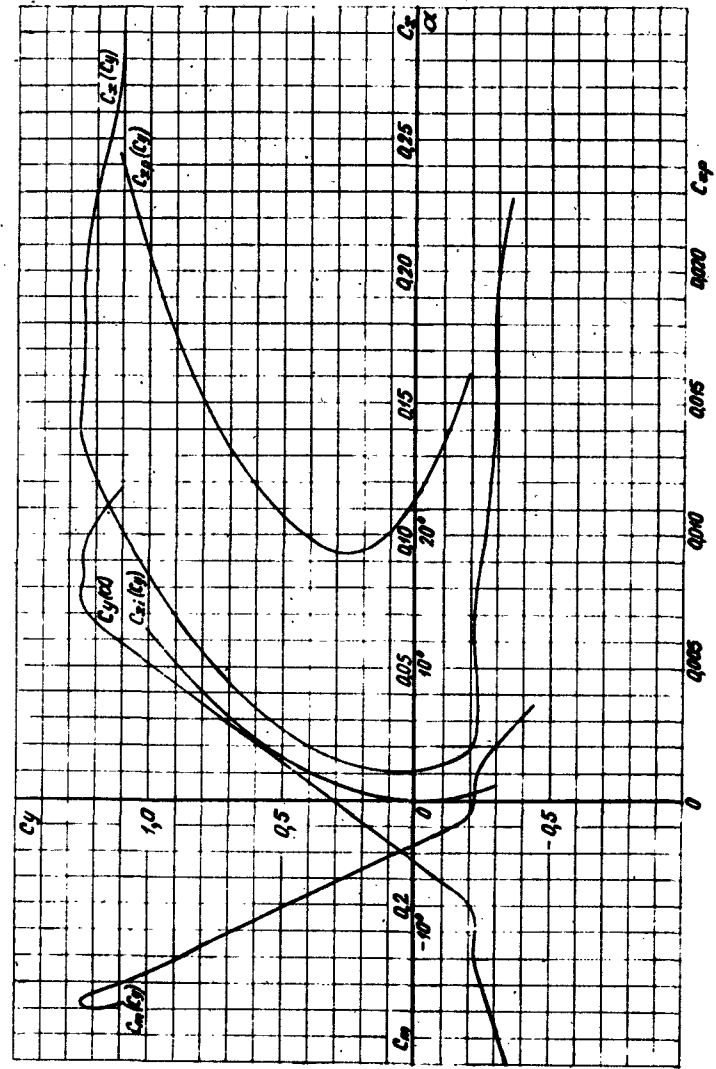


47

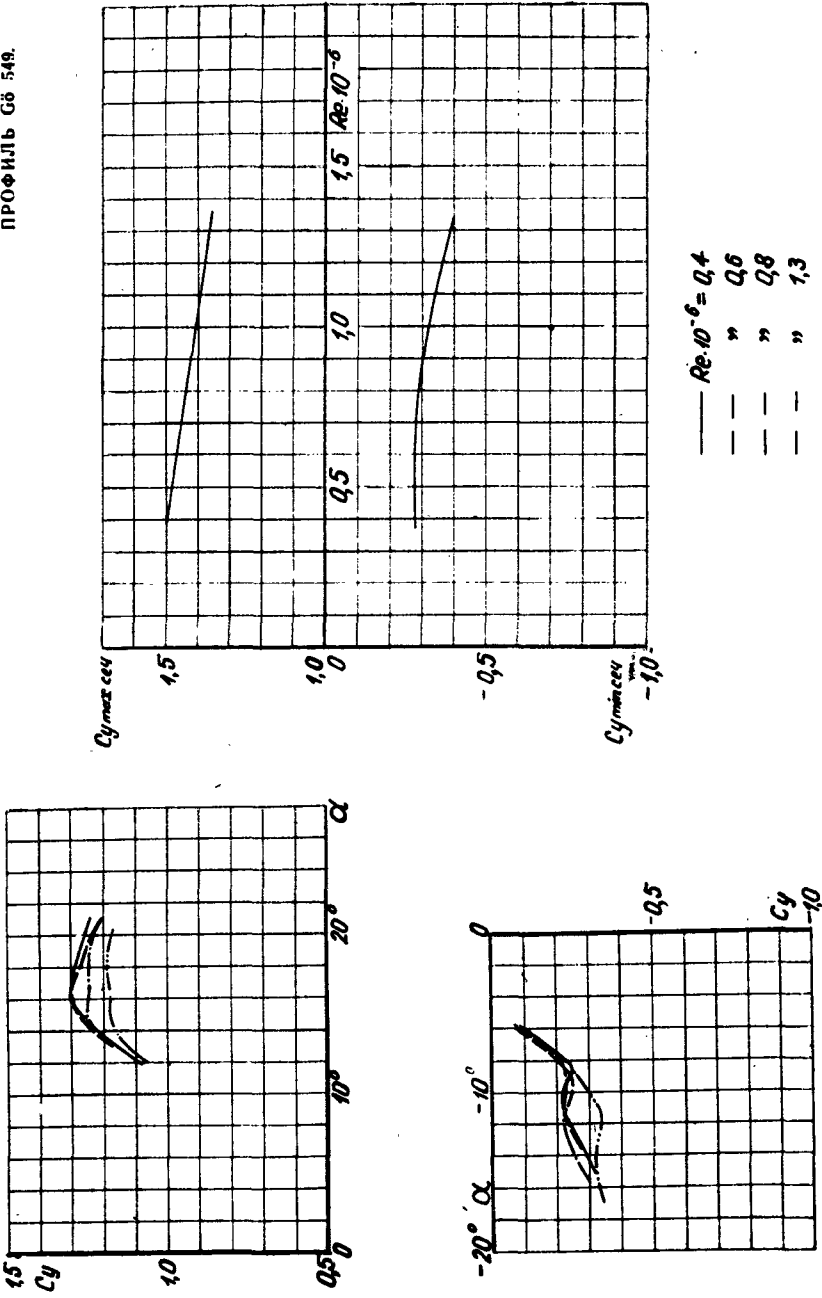
ПРОФИЛЬ ГО 54!

Стандартные аэродинамические характеристики сечения ($A = \infty$)

Сечение	C_{x0}	α_0	$\frac{dC_x}{d\alpha}$	C_{y0}	$\frac{dC_y}{d\alpha}$	C_{z0}	$\frac{dC_z}{d\alpha}$	$C_{\text{имп}}$	$\frac{dC_{\text{имп}}}{d\alpha}$	$C_{\text{спл}}$	$\frac{dC_{\text{спл}}}{d\alpha}$	$R_e \cdot 10^{-6}$
Г0054 Г050 4014	-13	5,5	1,44	-0,085	-0,242	154	32,5	0,982	48,7	482		



ПРОФИЛЬ ГО 549.

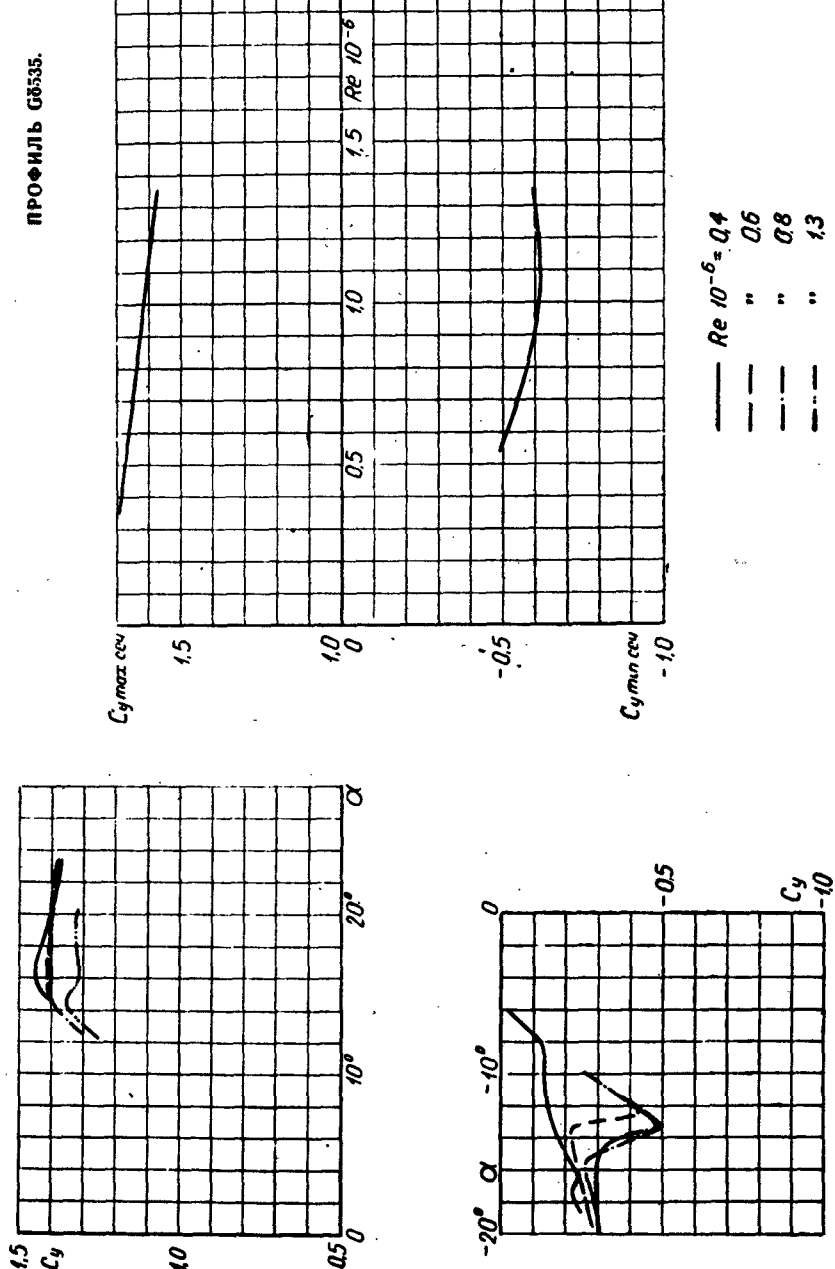
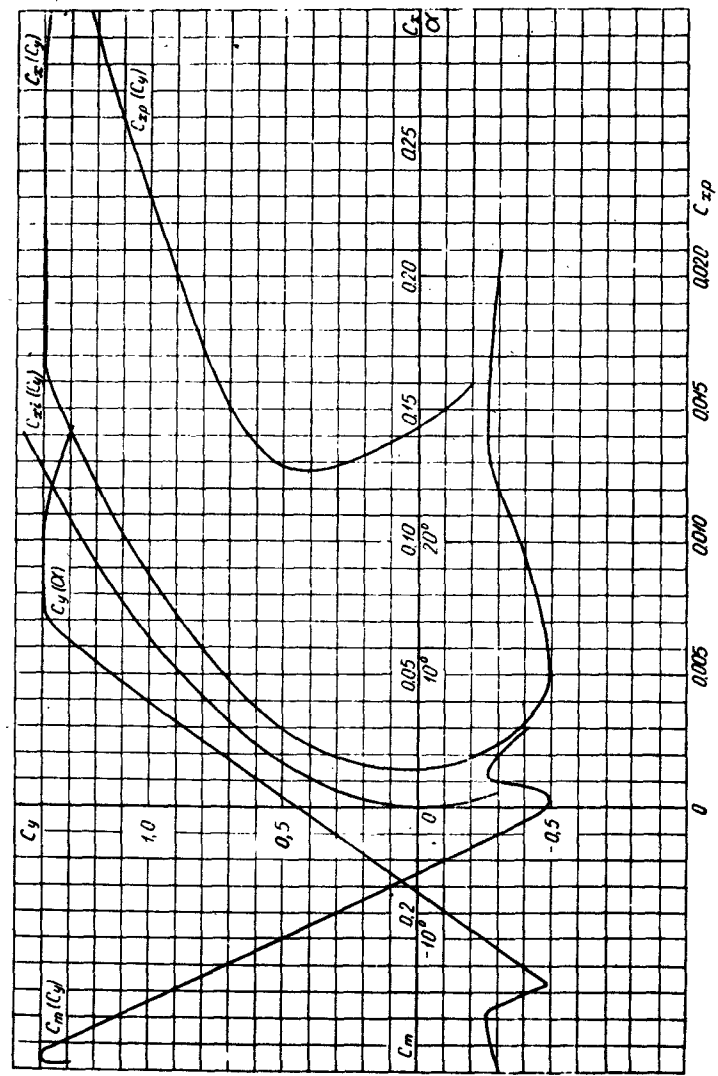


ПРОФИЛЬ № 555

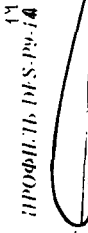


Основные аэродинамические характеристики сечения № 555 ($\lambda = \infty$)

$C_{x, \text{крит}}$	$C_{x, 0}$	α_0	$\frac{dC_x}{d\alpha}$	$C_{y, \text{крит}}$	$C_{y, 0}$	$\frac{dC_y}{d\alpha}$	$C_{z, \text{крит}}$	$C_{z, 0}$	$\frac{dC_z}{d\alpha}$	$C_{\alpha, \text{крит}}$	$C_{\alpha, 0}$	$\frac{dC_{\alpha}}{d\alpha}$
0.427	0.440	0.443	-6.4	5.63	1.62	-0.263	-0.225	0.244	1.28	46.5	0.730	45.4

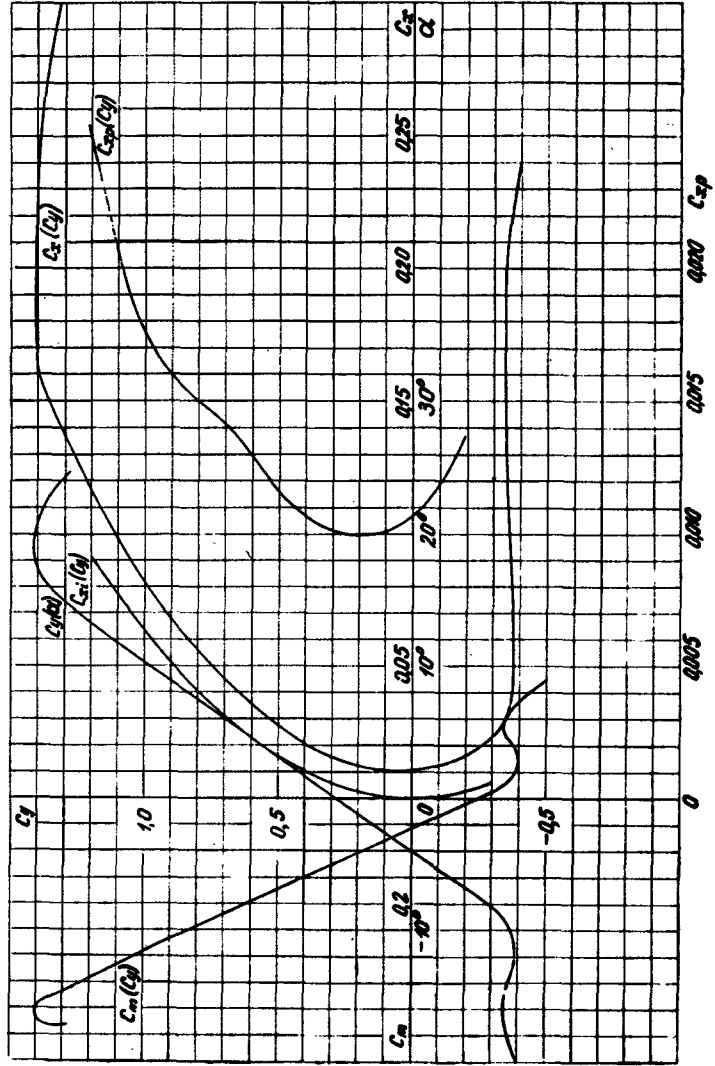


ПРОФИЛЫ СОСТОЯНИЯ

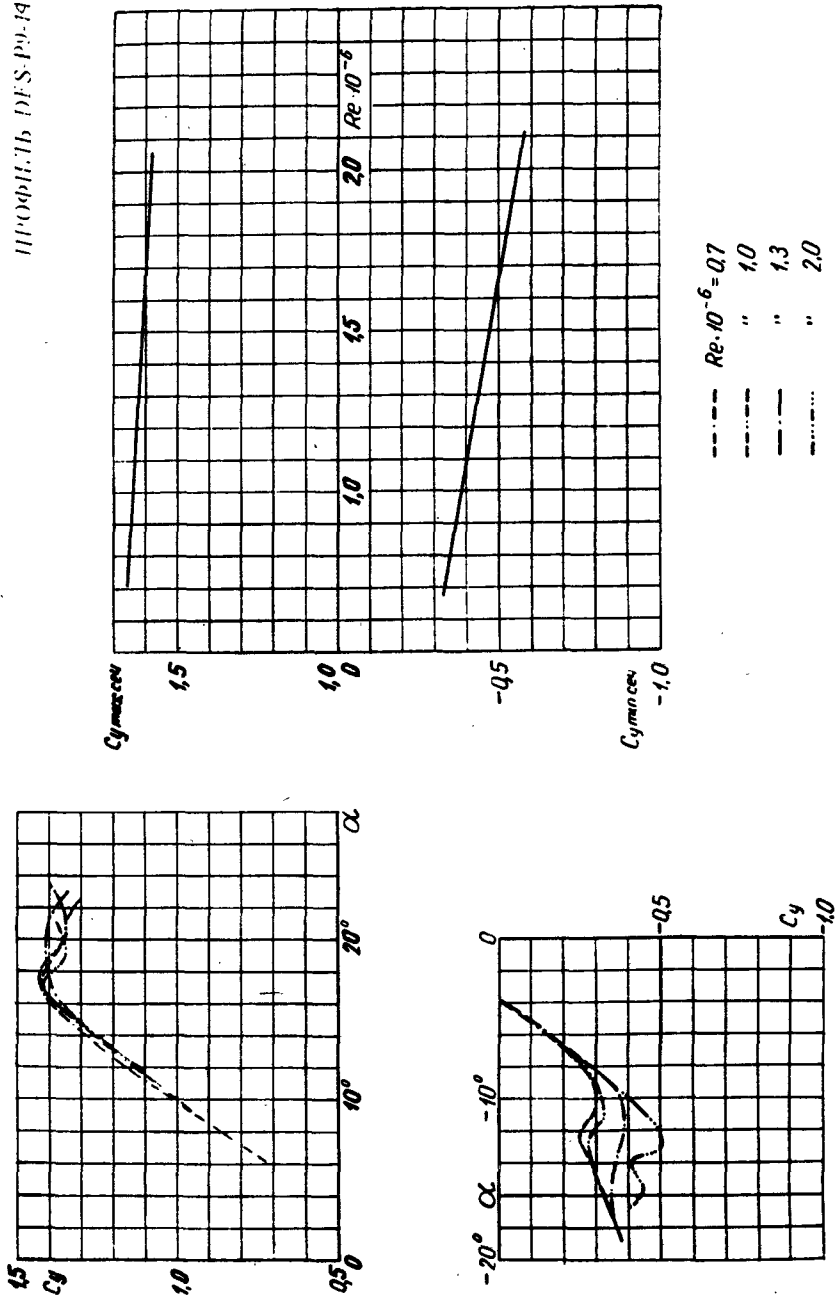


Однородные аэродинамические характеристики горизонтального гребенчатого крыла ($\lambda = \infty$)

Состояние	C_{x0}	C_{y0}	Коэффициент C_{m0}	Коэффициент C_{l0}	Коэффициент C_{d0}	Коэффициент C_{g0}
1	0.000	0.010	0.000	-0.9	5.63	1.02
2	0.000	0.000	0.000	-0.054	0.222	1.02
3	0.000	0.000	0.000	-0.054	0.222	1.02
4	0.000	0.000	0.000	-0.054	0.222	1.02
5	0.000	0.000	0.000	-0.054	0.222	1.02
6	0.000	0.000	0.000	-0.054	0.222	1.02
7	0.000	0.000	0.000	-0.054	0.222	1.02
8	0.000	0.000	0.000	-0.054	0.222	1.02
9	0.000	0.000	0.000	-0.054	0.222	1.02
10	0.000	0.000	0.000	-0.054	0.222	1.02
11	0.000	0.000	0.000	-0.054	0.222	1.02
12	0.000	0.000	0.000	-0.054	0.222	1.02
13	0.000	0.000	0.000	-0.054	0.222	1.02
14	0.000	0.000	0.000	-0.054	0.222	1.02



52

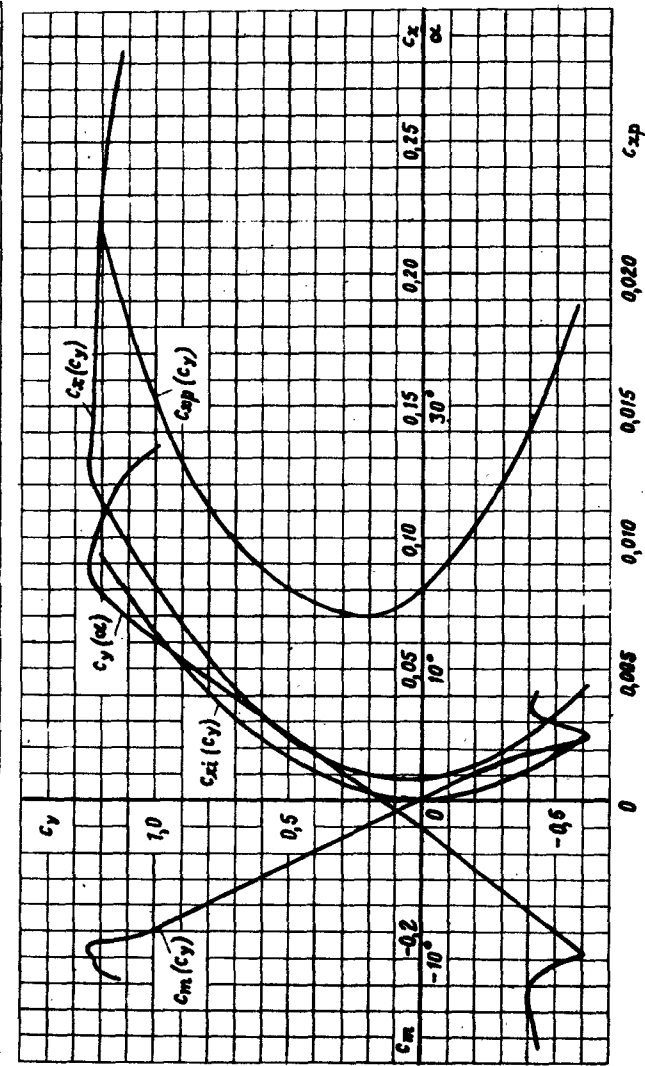
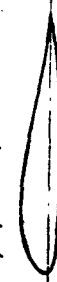


53

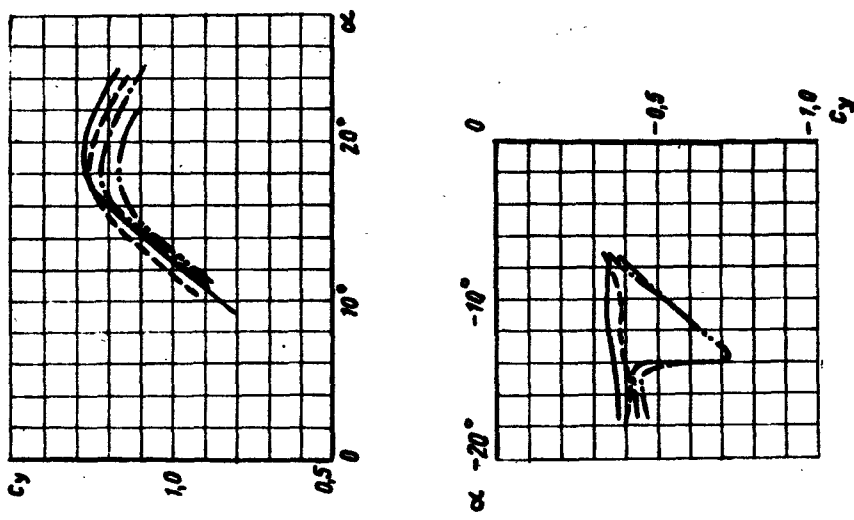
Основные аэродинамические характеристики статики сечения ($\lambda = \infty$)

	c_{y0}	c_{x0}	α_0	$\frac{dc_y}{d\alpha}$	$c_{y\text{max}}/c_{y\text{min}}$	c_m	$\frac{dc_m}{d\alpha}$	$c_{x\text{max}}/c_{x\text{min}}$	$R_e \cdot 10^{-6}$
0,007	0,205	0,008	-2°	5,36	1,42	-0,08	-0,008	-0,241	203

Профиль ЦАГИ D-2



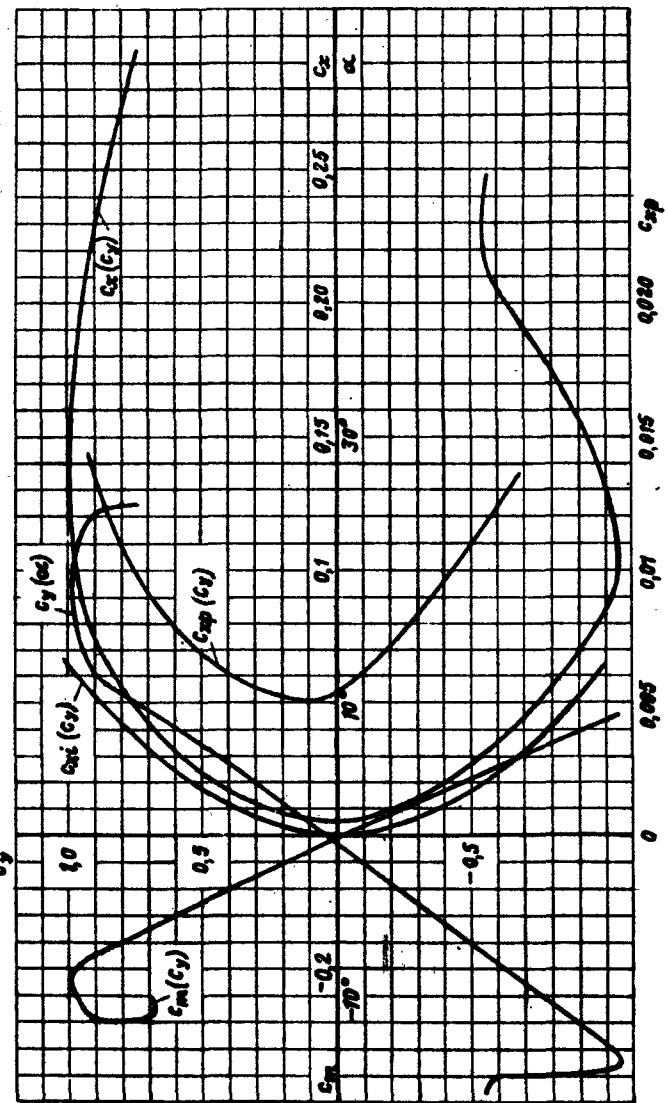
54



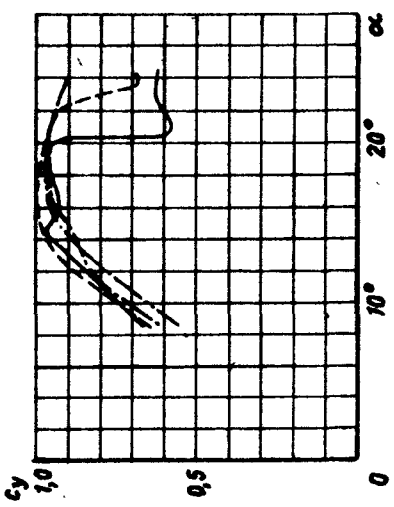
55

Профиль NACA 16/209

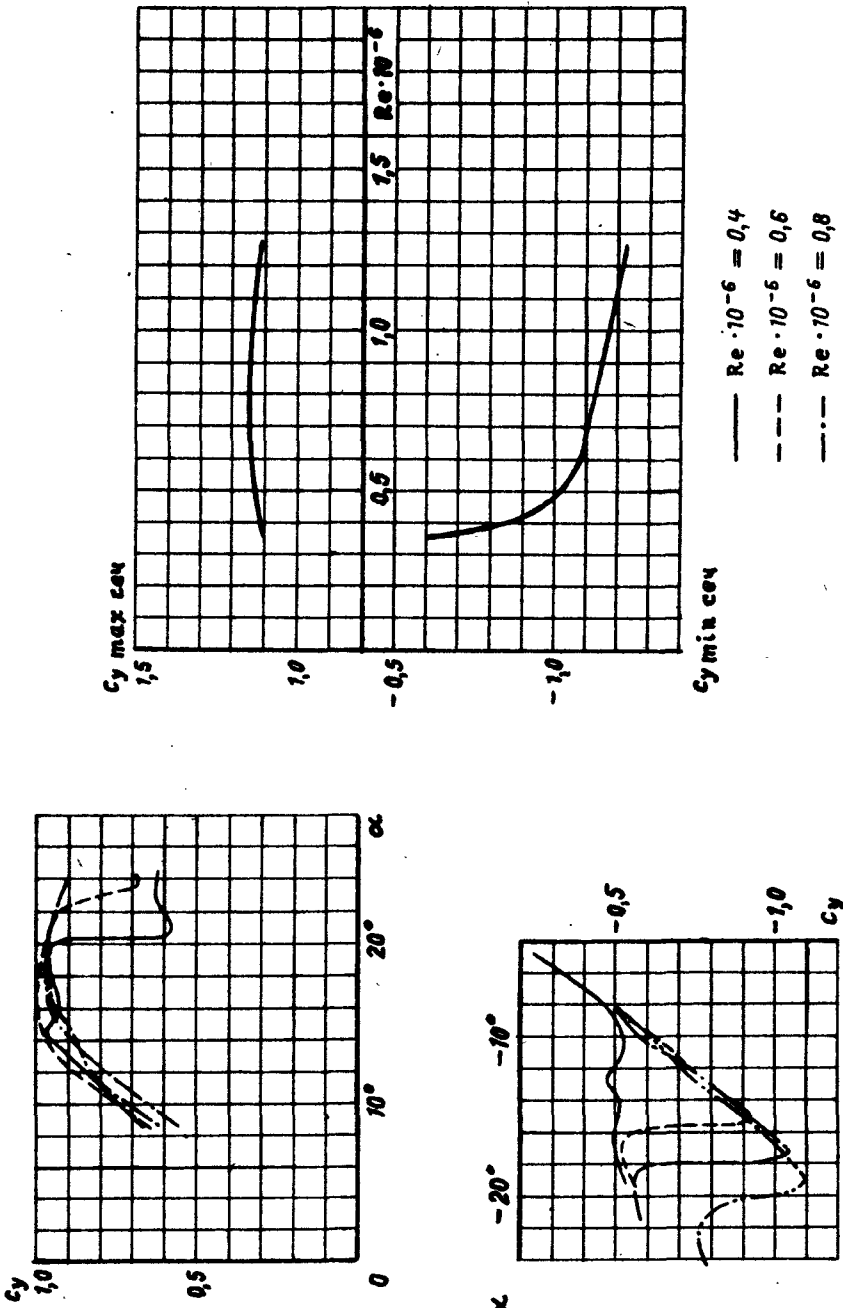
Основные аэродинамические характеристики сечения ($\lambda = \infty$)						
$c_{y \text{ min}}$	$c_{y \text{ opt}}$	$c_{x \text{ opt}}$	c_0	$\frac{dc_x}{d\alpha}$	$c_{y \text{ max}}$	$\frac{dc_y}{d\alpha}$
0,005	0,115	0,058	-0,005	5,32	1,15	-0,005



56

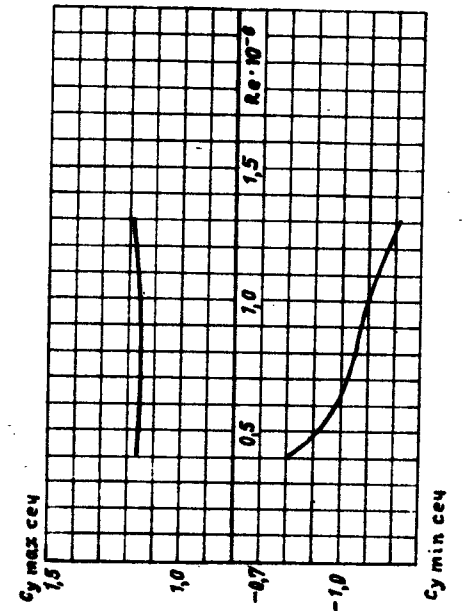
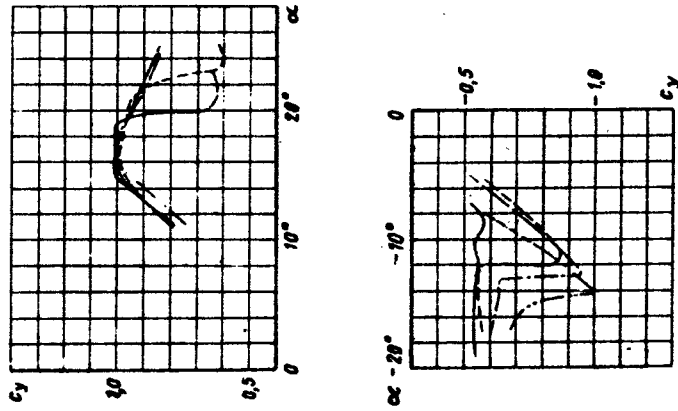
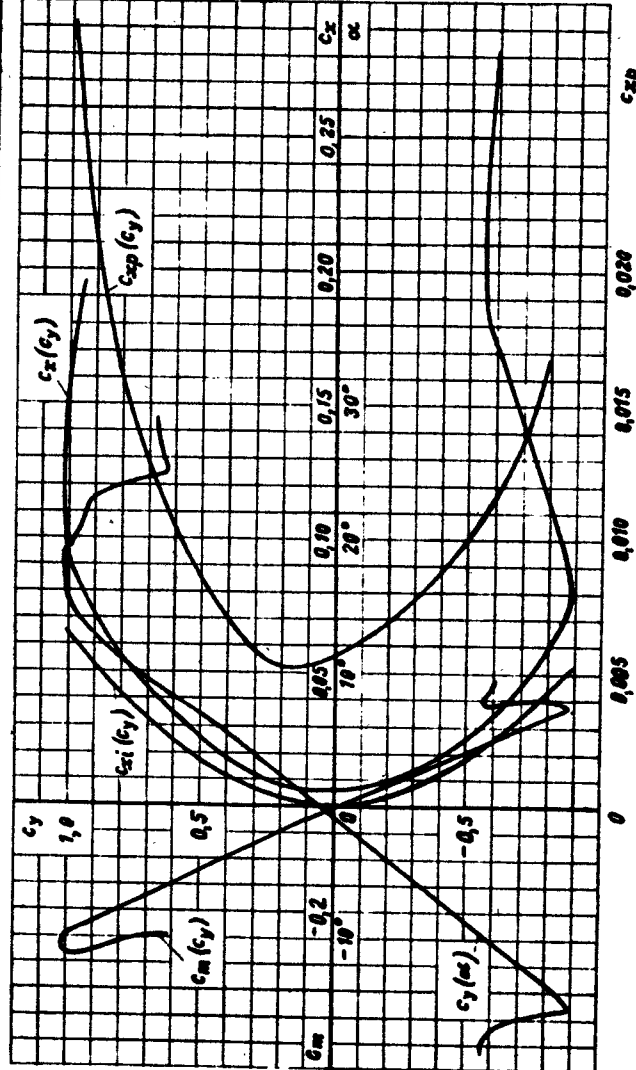


57



Профиль Me-163

Основные аэродинамические характеристики сечения ($\lambda = \infty$)						
Серийный №	Соо.	обозн.	$\frac{dc_y}{d\alpha}$	Сумма коэффициентов	$\frac{dc_m}{d\alpha}$	Сумма коэффициентов
0,00011	0,12	0,00055-0,01°	4,90	1,15	-1,05	-4,005-4,23

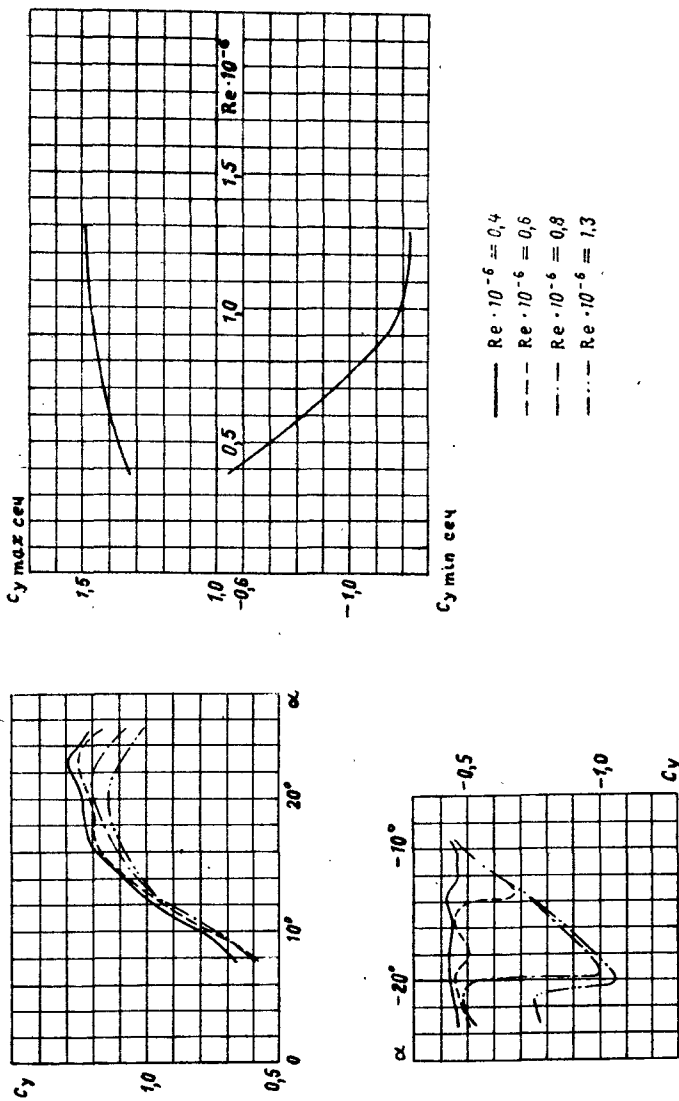
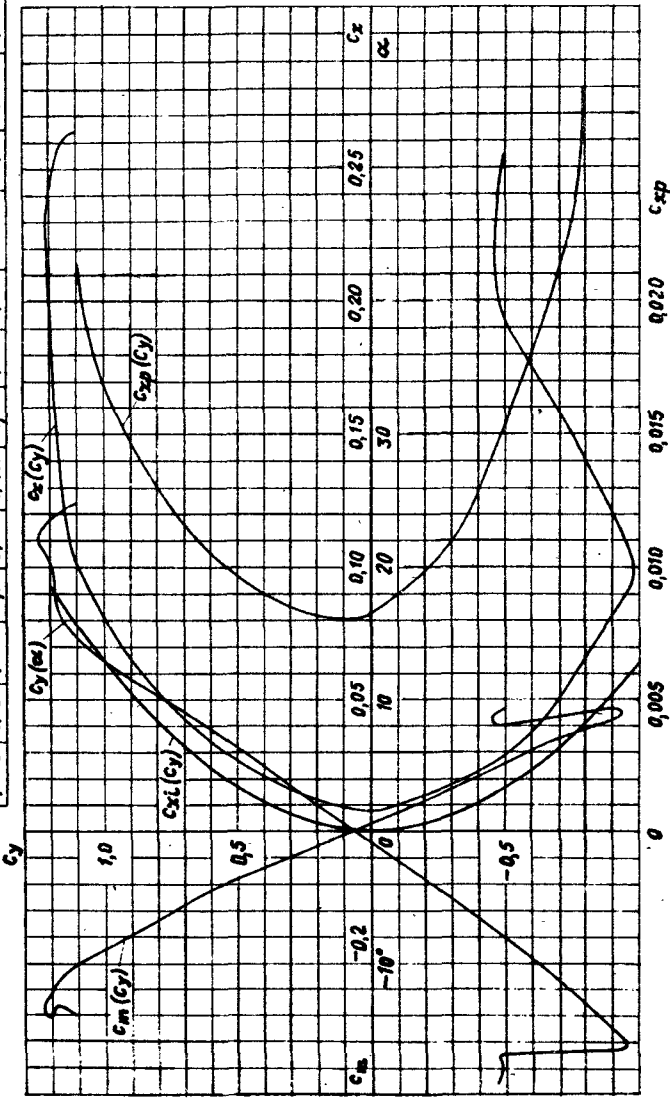


$\text{Re} \cdot 10^{-6} = 0.4$
 $\text{Re} \cdot 10^{-6} = 0.5$
 $\text{Re} \cdot 10^{-6} = 0.6$
 $\text{Re} \cdot 10^{-6} = 0.8$

Профиль К-3

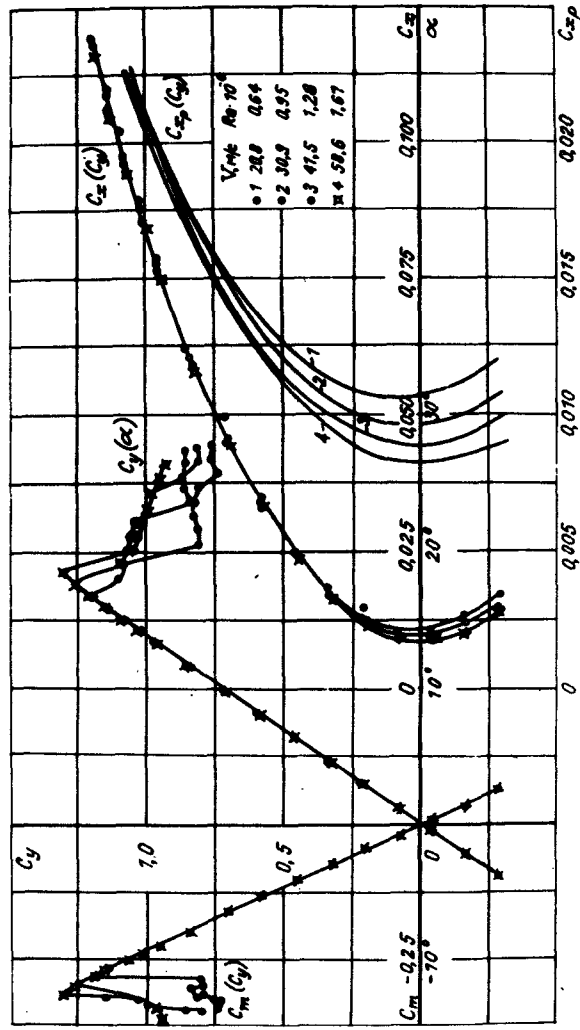
Основные аэродинамические характеристики сечения ($\lambda = \infty$)

C_{y0}	C_{z0}	α_0	$\frac{dC_y}{d\alpha}$	сумма сумм с то	$\frac{dC_m}{dC_y}$	сумма	k_{max}	$C_{y, max}$	$Re \cdot 10^{-6}$			
0,0078	0,12	0,0001	-0,5°	5,18	1,42	-1,0	0,017	-0,217	158	60,9	0,76	0,745



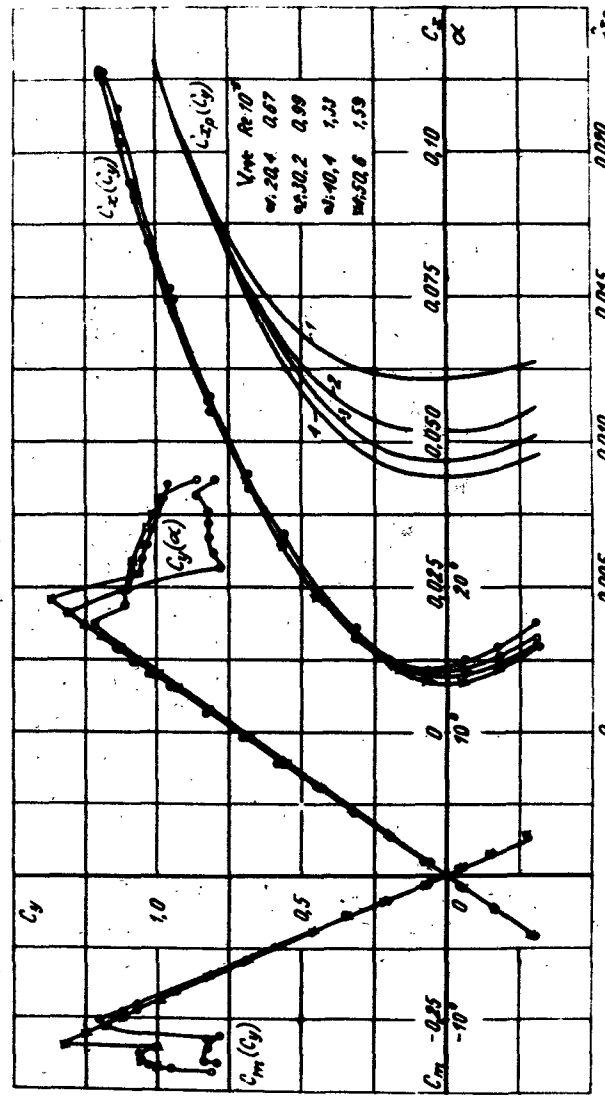
Программа самолета С-12

$C_{x_{\text{ном}}}$	$C_{y_{\text{ном}}}$	$C_{z_{\text{ном}}}$	$\alpha_{\text{ном}}$	$C_{m_{\text{ном}}}$	$\frac{dC_m}{d\alpha}$	$C_{x_{\text{ном}}}$	$C_{y_{\text{ном}}}$	$C_{z_{\text{ном}}}$	$\alpha_{\text{ном}}$	$C_{m_{\text{ном}}}$	$\frac{dC_m}{d\alpha}$
0.00020	0	0.00020	0	5.02	1.5	0	-0.2227	78.1	50	0.74	1.01



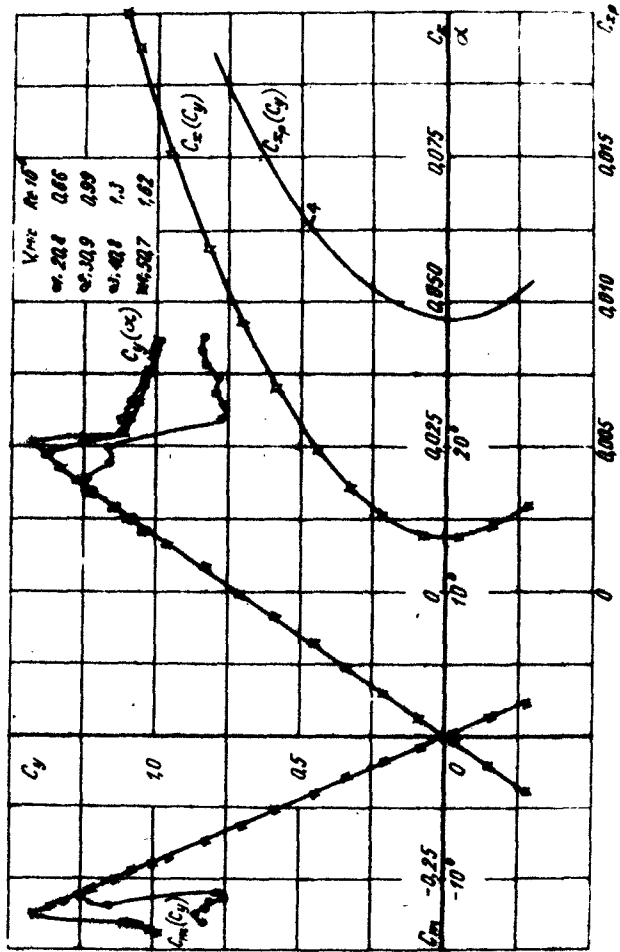
Программа самолета С-19

$C_{x_{\text{ном}}}$	$C_{y_{\text{ном}}}$	$C_{z_{\text{ном}}}$	$\alpha_{\text{ном}}$	$C_{m_{\text{ном}}}$	$\frac{dC_m}{d\alpha}$	$C_{x_{\text{ном}}}$	$C_{y_{\text{ном}}}$	$C_{z_{\text{ном}}}$	$\alpha_{\text{ном}}$	$C_{m_{\text{ном}}}$	$\frac{dC_m}{d\alpha}$
0.00017	0.0	0.00017	0.0	5.02	1.5	0.0	-0.2220	87.1	45	0.63	1.59



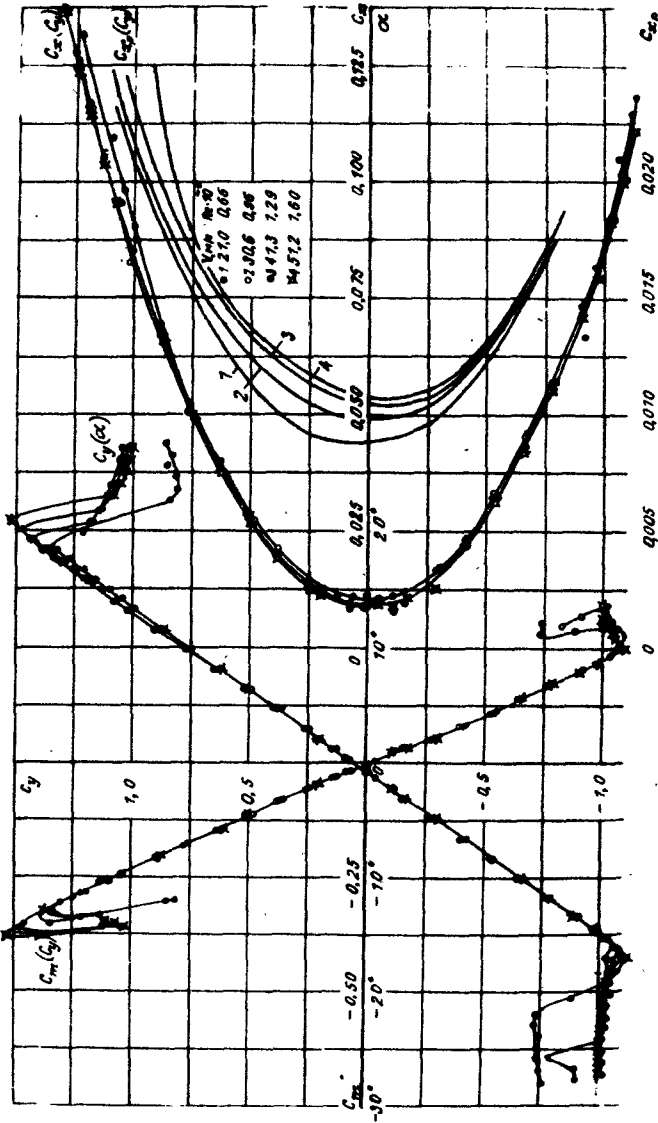
$C_{x_{\text{wind}}}$	$C_{y_{\text{wind}}}$	$C_{z_{\text{wind}}}$	$\frac{dC_x}{d\alpha}$	$\frac{dC_y}{d\alpha}$	$\frac{dC_z}{d\alpha}$	$C_{x_{\text{wind}}}$	$C_{y_{\text{wind}}}$	$C_{z_{\text{wind}}}$
0.00000	0.0	0.0	0.000	0.0	0.0	0.000	0.0	0.0

Aerofoil Cessna C-18

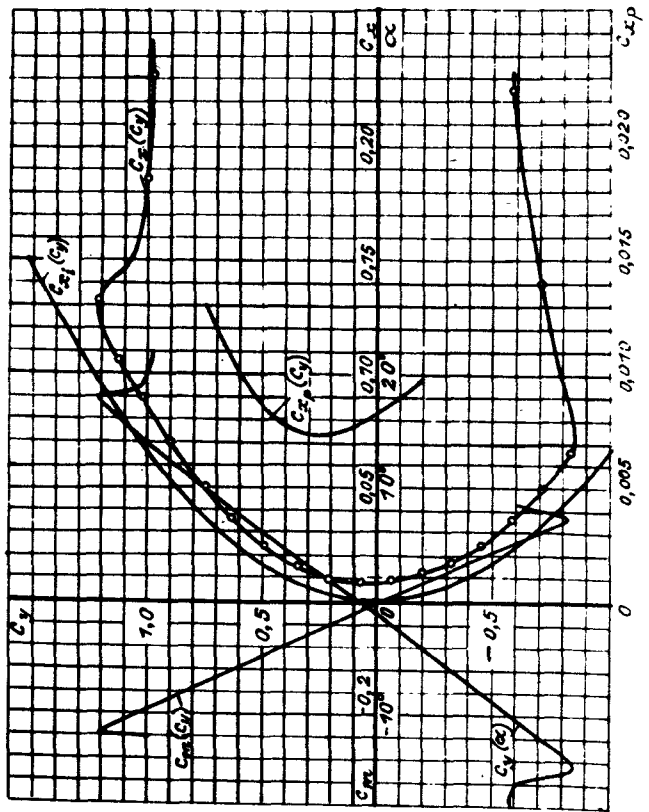


$C_{x_{\text{wind}}}$	$C_{y_{\text{wind}}}$	$C_{z_{\text{wind}}}$	$\frac{dC_x}{d\alpha}$	$\frac{dC_y}{d\alpha}$	$\frac{dC_z}{d\alpha}$	$C_{x_{\text{wind}}}$	$C_{y_{\text{wind}}}$	$C_{z_{\text{wind}}}$
0.00000	0.0	0.0	0.000	0.0	0.0	0.000	0.0	0.0

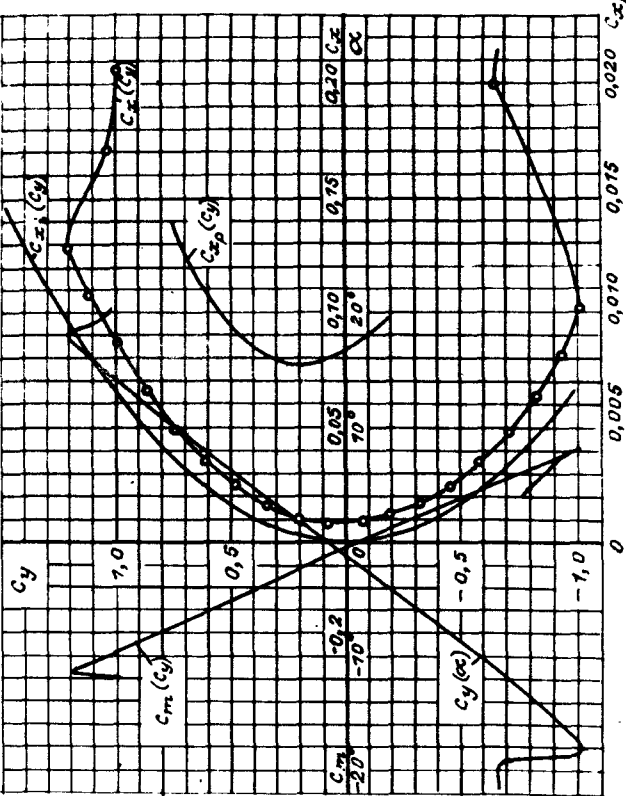
Aerofoil Cessna C-18



Профиль NACA 23011. C_x , $C_{x_{\min}}$, $C_{x_{\max}}$, α_0 , $\frac{dC_x}{d\alpha}$, C_y , $C_{y_{\min}}$, $C_{y_{\max}}$, $\frac{dC_y}{d\alpha}$, C_m , $C_{m_{\min}}$, $C_{m_{\max}}$, $\frac{dC_m}{d\alpha}$, $Re \cdot 10^{-6}$, K_{max} , $C_{y_{\text{ном}}}$

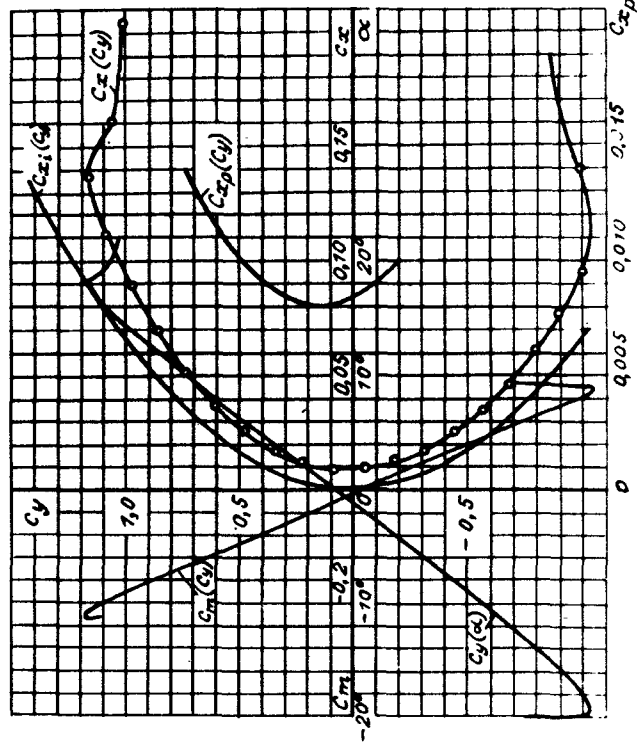


Профиль NACA 2307AC. C_x , $C_{x_{\min}}$, $C_{x_{\max}}$, α_0 , $\frac{dC_x}{d\alpha}$, C_y , $C_{y_{\min}}$, $C_{y_{\max}}$, $\frac{dC_y}{d\alpha}$, C_m , $C_{m_{\min}}$, $C_{m_{\max}}$, $\frac{dC_m}{d\alpha}$, $Re \cdot 10^6$, K_{max} , $C_{y_{\text{ном}}}$

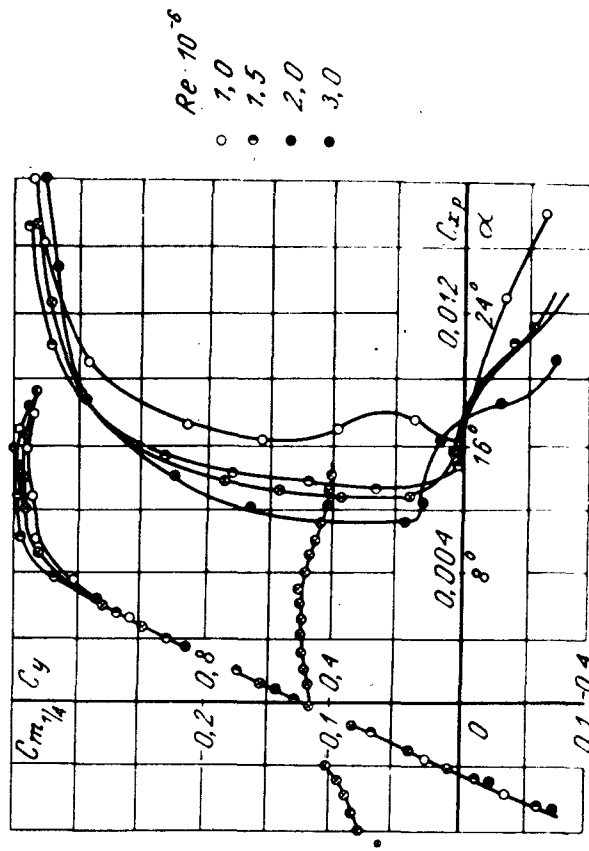
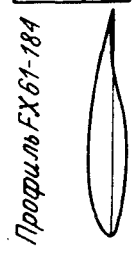


График

C_{x_0}	C_y	$\frac{dC_y}{d\alpha}$	α_0	$C_{y_{min}}$	$C_{y_{max}}$	$\frac{dC_m}{dC_y}$	$C_{y_{min}}$	K_{max}	$C_{y_{max}}$
0,0081415	0,0000	-1,2	5,3	1,36	-1,2	-0,005	-0,218	168,6	1,7
								49,6	0,65

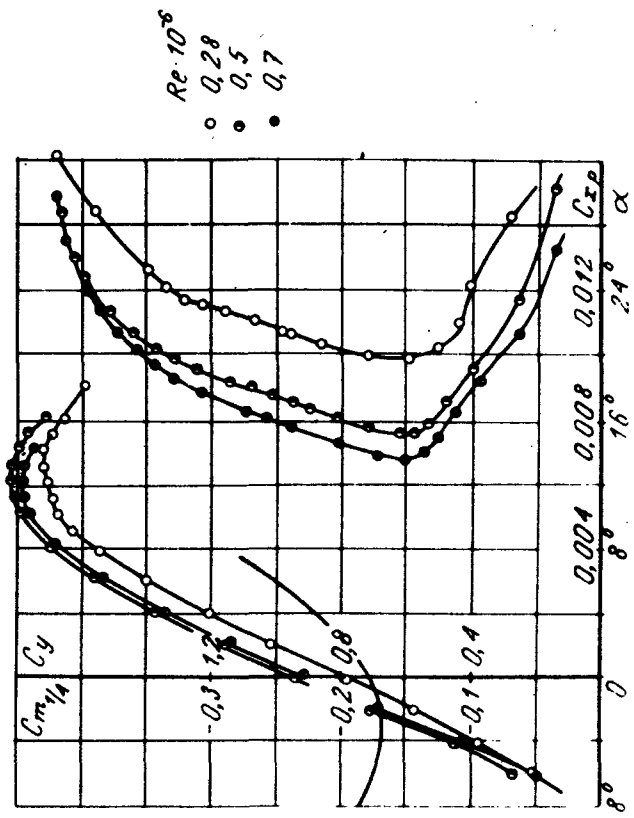


$C_{x_{min}}$	C_x	α_0	$\frac{dC_x}{d\alpha}$	$C_{y_{min}}$	$C_{y_{max}}$	\bar{X}_r	$C_{m_{min}}$	K_{max}	$C_{y_{max}}$	$Re \cdot 10^3$
0,0061	0,227	0,008	4,3	5,57	1,11	0,097	0,265	21,3	133	1,08



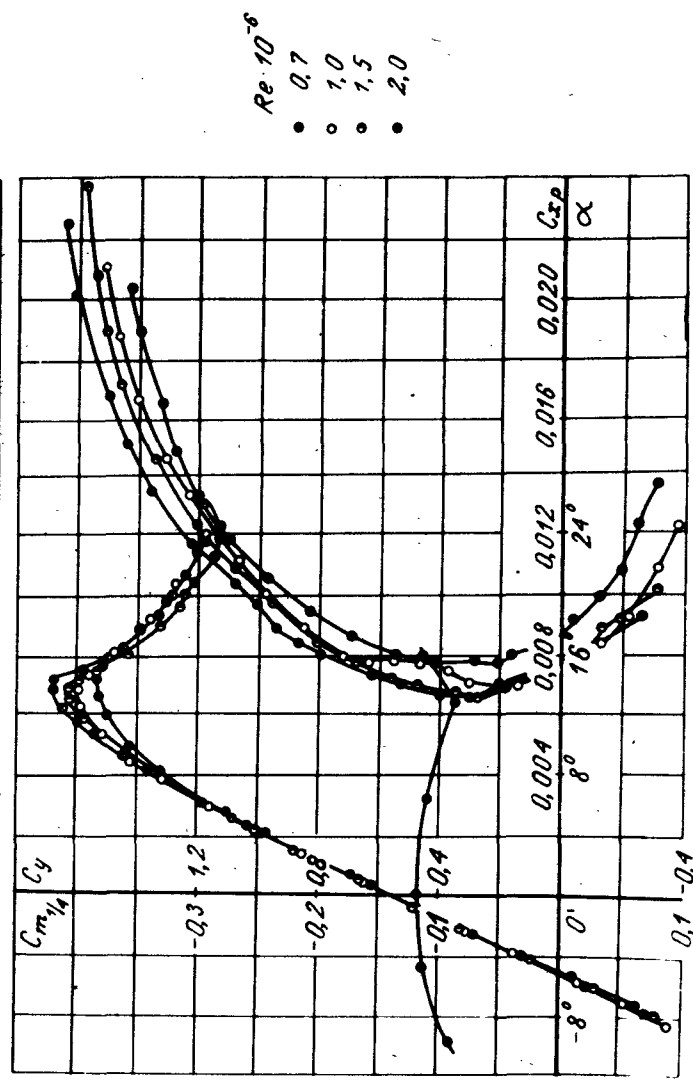
	$C_{x, \text{min}}$	$C_{y, \text{min}}$	α_0	$\frac{dC_y}{d\alpha}$	$C_{m, \text{max}}$	$\bar{\chi}_r$	$\frac{C_{m, \text{max}}}{C_{x, \text{min}}}$	$Re \cdot 10^{-6}$
0.0076	3.6	-	- 5.69	1.81	- 0.338	23.8	13.5	143 0.5

Продольно



	$C_{x, \text{min}}$	$C_{y, \text{min}}$	α_0	$\frac{dC_y}{d\alpha}$	$C_{m, \text{max}}$	$\bar{\chi}_r$	$\frac{C_{m, \text{max}}}{C_{x, \text{min}}}$	$Re \cdot 10^{-6}$
0.0076	0.27	0.0077	-5°	6.06	1.62	0.11	24.5	100 1.5

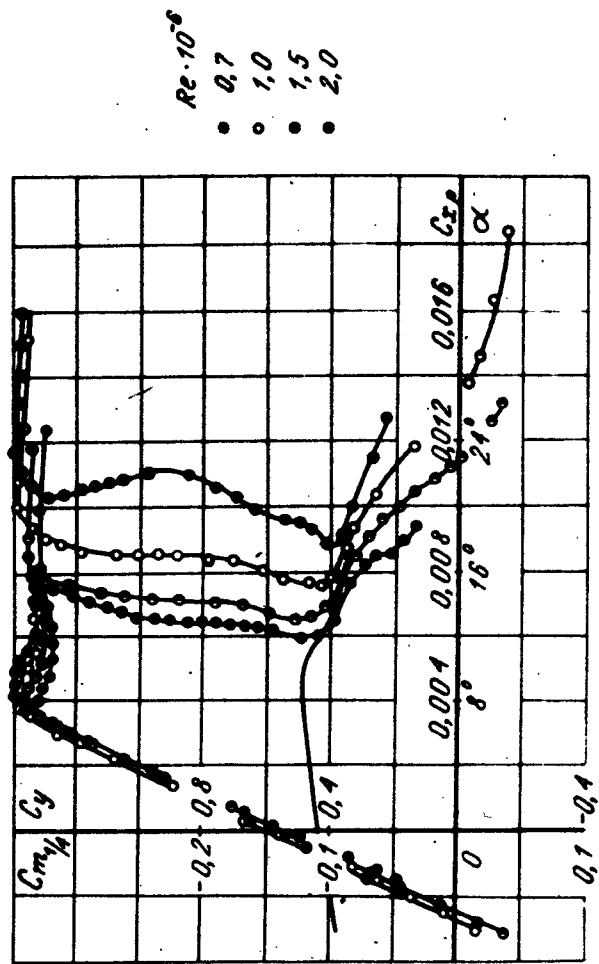
Продольно



α_0	$\frac{dC_x}{d\alpha}$	$C_{x,0}$	\bar{x}_0	$\frac{dC_y}{d\alpha}$	$C_{y,0}$	\bar{x}_{max}	$\frac{dC_m}{d\alpha}$	$C_{m,0}$
$0,2085$	$0,48$	$0,005$	$0,22$	-5°	$1,34$	$0,085$	$0,26$	$20,3$
								$16,3$

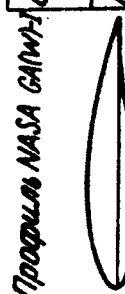


Продувка FX 67-K-77МН
Схема 1

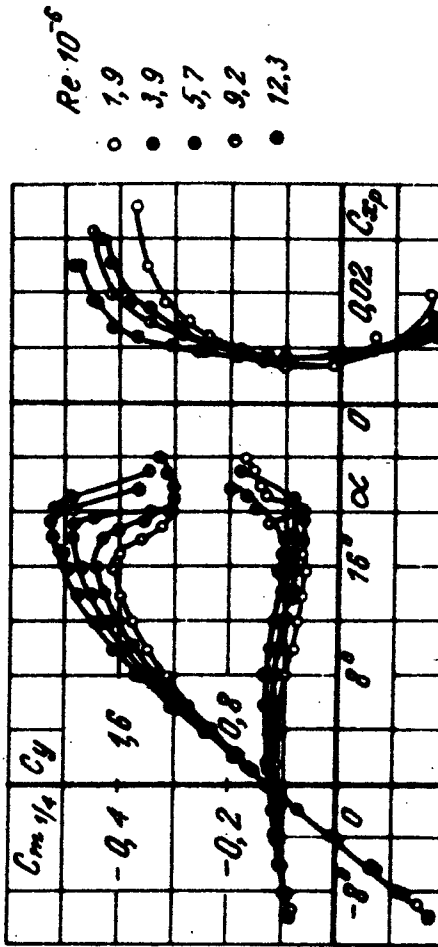


72

α_0	$\frac{dC_x}{d\alpha}$	$C_{x,0}$	\bar{x}_0	$\frac{dC_y}{d\alpha}$	$C_{y,0}$	\bar{x}_{max}	$\frac{dC_m}{d\alpha}$	$C_{m,0}$
$0,0022$	$0,1$	$0,001$	-4°	$2,16$	$1,64$	$-0,311$	$0,25$	$28,5$
								$24,4$



Продувка NASA GANTT



73

ЛИТЕРАТУРА

1. Ширманов П. М., Горский В. П. АТЛАС АЭРОДИНАМИЧЕСКИХ ХАРАКТЕРИСТИК АВИАЦИОННЫХ ПРОФИЛЕЙ. - М.: ОНТИ НКTP, 1932.
2. Красильщиков П. П. СЕРИЯ ПРОФИЛЕЙ Р-11//Труды ЦАГИ, вып. 212, 1935.
3. Шушурин В. В. АТЛАС КОНСТРУКЦИЙ ПЛАНЕРОВ. - М.: Оборонгиз, 1938.
4. Кравец А. С. ХАРАКТЕРИСТИКИ АВИАЦИОННЫХ ПРОФИЛЕЙ. - М.: Оборонгиз, 1939.
5. Ушаков Б. А., Красильщиков П. П., Волков А. К., Гржегоржевский А. Н. АТЛАС АЭРОДИНАМИЧЕСКИХ ХАРАКТЕРИСТИК ПРОФИЛЕЙ: КРЫЛЬЕВ. - М.: БНТ НКАП, 1940.
6. Костенко И. К., Сидоров О. А., Шереметев Б. Н. ЗАРУБЕЖНЫЕ ПЛАНЕРЫ. - М.: ДОСААФ, 1959.
7. Шереметев Б. Н. ПЛАНЕРЫ. - М.: ДОСААФ, 1959.
8. Needham C.H.L. SAILPLANES, Chapman and Hall, 1932.
9. Abbot I.H., Doenhoff A.E. THEORY OF WING SECTIONS, McGraw-Hill Book Comp., 1949.
10. Althaus D. STUTTGARTER PROFILKATALOG 1. Institute fur Aerodynamik und Gasdynamik der Universitat Stuttgart, 1972.
11. McGbee R. and Beasley W. LOW-SPEED AERODYNAMIC CHARACTERISTICS OF A 17-PROCENT-THICK AERFOIL SECTION DESIGNED FOR GENERAL AVIATION APPLICATIONS//NASA TN D-7428. - 1973.
12. Кашафутдинов С. Т., Моисеева Р. В. АТЛАС АЭРОДИНАМИЧЕСКИХ ХАРАКТЕРИСТИК ПЛАНЕРНЫХ КРЫЛОВЫХ ПРОФИЛЕЙ. - М.: "Машиностроение", 1966.

СОДЕРЖАНИЕ

	Стр.
ПРИНЯТЫЕ ОБОЗНАЧЕНИЯ	3
ОПИСАНИЕ МОДЕЛЕЙ	5
МЕТОДИКА И ПРОГРАММА ИСПЫТАНИЙ	6
ОПИСАНИЕ ГЕОМЕТРИЧЕСКИХ ДАННЫХ И УСЛОВИЙ ИСПЫТАНИЙ ПРОФИЛЕЙ, ЗАИМСТВОВАННЫХ ИЗ ДОПОЛНИТЕЛЬНЫХ ИСТОЧНИКОВ	6
ОБЩИЕ ПОНЯТИЯ	7
ОСНОВНЫЕ АЭРОДИНАМИЧЕСКИЕ ХАРАКТЕРИСТИКИ ПРОФИЛЕЙ.	8
РЕКОМЕНДАЦИИ ПО ВЫБОРУ ПРОФИЛЯ НЕСУЩЕЙ ПОВЕРХНОСТИ.	10
КООРДИНАТЫ ПРОФИЛЕЙ	13
АЭРОДИНАМИЧЕСКИЕ ХАРАКТЕРИСТИКИ ПРОФИЛЕЙ.	25
ЛИТЕРАТУРА.	74

Подписано к печати 25.04.94 г. Формат 60x84/16.

Объем 4,75 печ.л. Тираж 3000. Заказ 413.

Редакционно-полиграфическое объединение СО РАСХН,
роташпринт. 633128, Новосибирская область.